

## طراحی شبکه زنجیره تامین چندسطحی، چنددوره‌ای، چندمحصولی زیست‌توده پایدار با در نظر گرفتن تنوع مواد ورودی

احمد رجبیان<sup>۱</sup>، سید محمد حسن حسینی<sup>۲\*</sup>، حسین عموزاد خلیلی<sup>۳</sup>، محمد امیرخان<sup>۴</sup>

۱-دانشجوی دکتری، گروه مهندسی صنایع، واحد علی آباد کتول، دانشگاه آزاد اسلامی، علی آباد کتول، ایران

۲-دانشیار، گروه مهندسی صنایع، دانشگاه صنعتی شهرورد، شهرورد، ایران

۳-استادیار، گروه مهندسی صنایع، واحد ساری، دانشگاه آزاد اسلامی، ساری، ایران

۴-استادیار، گروه مهندسی صنایع، واحد علی آباد کتول، دانشگاه آزاد اسلامی، علی آباد کتول، ایران

رسید مقاله: ۱۴۰۲ اسفند ۱۴۰۳

پذیرش مقاله: ۱ مرداد ۱۴۰۳

### چکیده

مدل‌سازی ریاضی در زمینه طراحی شبکه زنجیره تامین زیست‌توده پایدار چندسطحی و چندمحصولی، به بررسی رفتار و ارتباط بین عوامل موثر بر این شبکه می‌پردازد. این موارد شامل ابعاد مختلف شبکه، میزان تقاضا و عرضه، نیازهای منابع، قیود و محدودیت‌های مختلف است. مدل‌سازی و حل این مسایل با در نظر گرفتن جنبه‌های اقتصادی، اجتماعی و زیست‌محیطی به طور هم‌زمان، این امکان را می‌دهد تا بتوانیم ضمن بهینه‌سازی فاکتورهای موثر در اجرای شبکه زنجیره تامین، گزینه‌های کاهش هزینه با حفظ کیفیت خدمات و افزایش رفاه اجتماعی را نیز جستجو کنیم. در این تحقیق یک مدل برنامه‌ریزی ریاضی چنددهدله است. مدل پیشنهادی با استفاده از الگوریتم فراابتکاری NSGA-II مورد ارزیابی قرار گرفته است که با استفاده از این مدل می‌توانیم مقادیر بهینه برای اجزای اصلی زنجیره تامین در دراز مدت را تعیین نماییم. مهم‌ترین مقادیری که با استفاده از این مدل می‌توانیم محاسبه نماییم عبارت است از: مقدار بهینه تولید گلیسرین، بیودیزل، جاتروفاف، جلبک و مقدار ضایعات روغن در پالایشگاه‌های زیستی، تعیین مقدار بهینه روغن جاتروفاف و جلبک، تعیین مقدار تولید مواد اولیه دارو و تولید کود در مراکز استخراج، میزان حمل و نقل جاتروفاف، جلبک، بیودیزل، مقدار ضایعات روغن، نوروزک، کود و خرزهره، تعیین ظرفیت مراکز جمع‌آوری و استخراج روغن.علاوه بر این، یک تحلیل حساسیت با تغییراتی روی مقدار اپسیلون انجام شده است. برطبق نتایج به دست آمده سطح تغییرات معنی دار اپسیلون بین ۵۰ تا ۹۰۰ به عنوان بردار بهبود دهنده تعیین شده است. به طوری که دامنه تغییرات اپسیلون برای جستجوی جواب بهینه محلی برای تابع هدف اول ۶۵۰ و برای برای تابع هدف دوم در اپسیلون ۶۰۰ تعیین شده است. همچنین، تغییرات مقدار تابع هدف را در صورت تغییر در مقدار ظرفیت میادین محاسبه شده است.

**کلمات کلیدی:** زنجیره تامین زیست‌توده، چند دوره‌ای، پایداری، چند محصولی، تنوع مواد ورودی.

\* عهده‌دار مکاتبات

آدرس الکترونیکی: sh.hosseini@shahroodut.ac.ir

## ۱ مقدمه

استفاده گسترده‌تر از فناوری زیست‌توده در زندگی روزمره و افزایش جمعیت جهان منجر به افزایش چشمگیر مصرف انرژی شده است [۱]. از طرف دیگر، الزام کاهش انتشار کربن، در تولیدات و اجرای مستمر و توسعه محصول در حالت انتشار کم کردن در صنایع مختلف توجه به رشد و توسعه انرژی‌های جایگزین از اهمیت خاصی برخوردار است [۲]؛ زیرا، وابستگی به مصرف انرژی نیز در حال افزایش است. در سراسر جهان، بخش عمده‌ای از انرژی موردنیاز در حال حاضر از سوخت‌های فسیلی تامین می‌شود. با این حال، انتظار می‌رود که این منابع عمدتاً مورد استفاده تا قرن آینده کاهش یابد [۳]. همچنین، به دلیل سوزاندن سوخت‌های فسیلی، سطح دی‌اکسید کربن ( $\text{CO}_2$ ) در اتمسفر افزایش یافته است که مستقیماً با گرم شدن کره زمین مرتبط است [۴]. زیرا، انرژی نقش حیاتی در معیشت و امنیت غذایی مردم در سراسر جهان ایفا می‌کند و منجر به چالش‌های زیست محیطی قابل توجهی می‌شود [۵]. بنابراین، مدیریت انرژی صحیح می‌تواند تاثیر مثبتی برای توسعه پایدار داشته باشد و به عنوان یک منبع حیاتی و انرژی به صورت سبز عمل کند [۶]. به همین دلیل، محققان همواره بر تاثیرات منفی زیست‌محیطی و منابع محدود آن تأکید می‌کنند که منع فسیلی برای تولید انرژی پایدار مناسب نیست [۷]. علاوه بر توجه به مسائل زیست‌محیطی اخیراً توجهاتی به ارزیابی چرخه زندگی اجتماعی که به عملکرد اجتماعی محصولات می‌پردازد در مسایل تولید انرژی‌های پاک نیز توسعه یافته است [۸]. بر این اساس، این رویکردها می‌توانند به رفع چالش‌ها و نگرانی‌های مرتبط با پایداری تولید تجاری انرژی کمک کنند [۹].

در چنین شرایطی، استفاده از سوخت‌های زیستی می‌تواند ضمن کاهش آلاینده‌های جوی، به پایداری در جامعه نیز کمک کند. سوخت‌های زیستی از مواد خام زیست‌توده در شکل‌های مختلف مایع، جامد یا گاز تولید می‌شوند. بیو دیزل و اتانول زیستی رایج‌ترین سوخت زیستی مایع هستند که به عنوان جایگزین مناسب برای سوخت‌های فسیلی و گازوئیل در بخش حمل و نقل مورد استفاده قرار گرفته‌اند. بیو دیزل به عنوان یک سوخت زیستی مایع از آلکیل استرهای اسید چرب ساخته شده از تری گلیسریدها، دی آسیل گلیسرول‌ها، اسیدهای چرب آزاد و فسفولیپیدها تشکیل می‌شود که به طور سنتی از روغن‌های گیاهی یا چربی‌های حیوانی حاصل می‌شود [۱۰]. فرایندهای مختلفی در تولید زیست‌توده از روغن‌های گیاهی و چربی‌های حیوانی وجود دارند که در آن تبادل استری فرآیند کلیدی است و مهم‌ترین فرآیند برای تولید سوخت پاک و سازگار با محیط‌زیست است [۱۱]. تبادل استری معمولاً با استفاده از الکل‌های اولیه و ثانویه انجام می‌شود. یک تنگنای عمدت محدود کردن توسعه صنعت زیست‌توده، تهیه و قیمت مواد اولیه است [۱۲]. سوخت زیستی  $1/5$  تا  $2$  برابر از سوخت دیزل گران‌تر است که  $70$  تا  $95$  درصد به خاطر هزینه روغن گیاهی یا چربی حیوانی است. همچنین، برخی از مواد خام خوراکی هستند و استفاده از آن‌ها برای تولید زیست‌توده توسط فائق نقد می‌شود [۷]. از این‌رو، هزینه اولیه زیست‌توده را می‌توان به میزان قابل توجهی با استفاده از ماده خام ارزان‌تر مثل روغن‌های غیرخوراکی یا روغن پسماند کاهش کنند. در این میان ریز جلبک به عنوان یکی از امیدوار کننده‌ترین مواد برای تولید زیست‌توده در آینده محسوب می‌شود که قادر به پاسخگویی به تقاضای جهانی برای سوخت‌های حمل و نقل است.

در بخش‌های مختلف صنعت، زنجیره تامین زیست‌توده شامل رشد (تولید)، برداشت، انتقال، جمع‌آوری، ذخیره‌سازی و تبدیل زیست‌توده به محصول نهایی است و بهره‌وری و فناوری در هر بخش روی دیگر بخش‌ها اثر می‌گذارد. انتخاب نوع زیست‌توده، پایداری و سوددهی در تولید ماده خام و همچنین مقیاس تولید و تبدیل زیست‌توده به مواد ارزشمند در مقیاس بالا از جمله موارد مهم در این زمینه به شمار می‌رود. با توجه به این‌که طراحی بهینه و پایدار شبکه زنجیره تامین سوخت‌های زیستی نقش اساسی در کاهش هزینه‌ها و تجاری‌سازی آن‌ها دارد، از این‌رو در این پژوهش به طراحی شبکه زنجیره تامین زیست‌توده که شامل تعیین مکان بهینه برای احداث پالایشگاه و تولید از منابع زیست‌توده غیرخوراکی نظیر جاتروفافا، نوروزک، خرزهره زرد، ریز جلبک و روغن پسماند پرداخته می‌شود. مدل پیشنهادی شامل یک برنامه‌ریزی ریاضی بر اساس مدل برنامه‌ریزی عدد صحیح مخلط است که تمامی لایه‌های مربوط به زنجیره تامین زیست‌توده از مراکز تهیه فیداستاک تا مراکز مصرف زیست‌توده را در نظر می‌گیرد. بنابراین، با توجه به این‌که مطالعات اخیر در زمینه تامین انرژی بر منابع انرژی پایدار در بسیاری از جنبه‌ها متumerکز است [۱۲]، سوخت‌های زیستی را می‌توان به عنوان جایگزین مناسب برای سوخت‌های فسیلی در نظر گرفت [۱۴].

براساس موارد اشاره شده در بالا، مهم‌ترین هدف تحقیق حاضر طراحی شبکه زنجیره تامین زیست‌توده پایدار با در نظر گرفتن الزامات اقتصادی، زیست محیطی و اجتماعی چند سطحی و چند دوره‌ای با در نظر گرفتن تنوع مواد ورودی می‌باشد که برای راهاندازی تاسیسات زیست‌توده لازم و ضروری است. بنابراین، مهم‌ترین مزیت‌های حاصل از این تحقیق این است که، چگونه یک شبکه زنجیره تامین زیست‌توده را می‌توان طراحی و مدیریت کرد که تمام سطوح زنجیره تامین از منابع تامین زیست‌توده تا تاسیسات بیوگاز را باهم ترکیب نماید. برای این منظور، مرتبط‌ترین و جدیدترین منابع نظری و کاربردی در این حوزه بررسی شده است تا بر اساس آن‌ها یک شبکه زنجیره تامین زیست‌توده طراحی شود و به عنوان روش پیشنهادی ارایه گردد. سرانجام، مدل پیشنهادی با توجه به این‌که سه جنبه پایداری را همزمان لحاظ می‌کند با استفاده از روش اپسیلون محدودیت به یک مساله تک هدفه تبدیل شده و سپس با استفاده از روش فرالبتکاری NSGA-II نیز حل شده است.

در بخش دوم یک مرور ادبیات برای مشخص کردن شکاف تحقیق ارایه شده است. در بخش سوم روش مدل‌سازی تحقیق ارایه شده است. در بخش چهارم، نتایج به کارگیری مدل به همراه تحلیل حساسیت ارایه شده است. در بخش پنجم، یک نتیجه‌گیری کلی به همراه پیشنهادهایی برای تحقیقات آتی ارایه شده است.

## ۲ مرور ادبیات

در این بخش به معرفی مطالعاتی که در حوزه زنجیره تامین زیست‌توده طی سال‌های گذشته به انجام رسیده است می‌پردازیم. برای مثال، حسینعلی زاده و همکاران [۱۵]، یک مدل چنددهدهفه چند دوره‌ای جامع برای طراحی یک برنامه توسعه بیودیزل با استفاده از منابع اولیه روغن پسماند خوراکی، سویا، آفتابگردان و کلزا تشکیل دادند و ترکیبات مختلف بیودیزل و منابع اولیه را مقایسه کردند. یک مجموعه پارتو با استفاده از روش اپسیلون محدودیت تقویت شده به دست آمده است. بر اساس نتایج آن‌ها، B<sub>5</sub> و B<sub>40</sub> مناسب‌ترین گزینه‌های موجود در

مجموعه پارتو هستند. دلخوش و سجادی [۳]، یک زنجیره تامین ساخت زیستی ریز جلبک را از طریق یک رویکرد دو مرحله‌ای جهت تجاری‌سازی تولید ساخت زیستی از جلبک به عنوان منبع جدید انرژی توسعه دادند. در مرحله اول آن‌ها از روش بهترین بدترین (BWM) برای تعیین بهترین سیستم کشت استفاده کردند و در مرحله دوم یک مدل ریاضی دو هدفه ارایه دادند که به طور همزمان اهداف اقتصادی و زیست‌محیطی را بهینه می‌کند. همچنین یک مدل بهینه‌سازی استوار مبتنی بر سناریو برای مقابله با ماهیت غیرقطعی زنجیره تامین ساخت زیستی پیشنهاد کردند. آن‌ها برای اولین بار در ادبیات، استفاده مجدد از گازها و تصفیه فاضلاب در مراحل مختلف به عنوان مواد خام برای مراحل دیگر را مورد بررسی قراردادند. دورماز و بلگین [۱۶] یک رویکرد بهینه‌سازی چنددهدفه پایدار برای طراحی زنجیره تامین زیست‌توده ارایه داده‌اند. برای این منظور، یک برنامه‌ریزی بهینه‌سازی شبکه زنجیره تامین زیست‌توده در قالب یک روش سه مرحله‌ای برای حل مساله ارایه شده که با توسعه یک مدل برنامه‌ریزی چنددهدفه نسبت به حل یک مساله در دنیای واقعی اقدام شده است. محجوب و همکاران [۱۷]، یک مدل برنامه‌ریزی خطی عدد صحیح مختلط دو هدفه برای طراحی بالادست و پایین‌دست زنجیره تامین زیست‌توده با استفاده از سه نوع زیست‌توده شامل جاتروفا (نسل دوم)، پسماندهای کشاورزی و کود دامی (نسل دوم) و ریز جلبک (نسل سوم) برای تولید انرژی زیستی ارایه کردند. آن‌ها این مدل را با استفاده از روش اپسیلون محدودیت تقویت‌شده راه حل‌های بهینه پارتو، حل کردند. نتایج تحلیل آن‌ها نشان می‌دهد که با در نظر گرفتن مقدار انرژی زیستی تولید شده بدون توجه به نوع آن، تولید انرژی از ریز جلبک و جاتروفا بیشتر از پسماندهای زیستی قابل دوام است. نتایج تحلیل آن‌ها نشان داد که هزینه تولید و هزینه سرمایه گذاری به ترتیب بیشترین تاثیر را بر هزینه کل شبکه زنجیره تامین دارند. در تحقیق دیگری که توسط رضایی و همکاران [۱۸] صورت گرفته، منابع غیرخوارکی مانند نوروزک، جاتروفه، و روغن پخت و پز پسماند در نظر گرفته و یک مدل بهینه‌سازی استوار بر اساس سناریو برای طراحی شبکه‌های زنجیره تامین بیودیزل تحت عدم قطعیت ارایه شده است. در این مدل برخی از پارامترها از جمله تقاضا، عرضه، هزینه‌ها و اثرات زیست‌محیطی دارای ماهیت غیرقطعی هستند از این‌رو برای اولین بار در ادبیات، مقدار پارامترهای نامعین بر اساس رویکرد برنامه‌ریزی سناریو در هر سناریو تخمین زده و احتمال وقوع سناریوها مشخص شده است. علاوه بر این، یک محدودیت محیطی در نظر گرفته می‌شود که در آن مقدار انتشار گاز کربن دی‌اکسید نباید از حد مجاز فراتر رود. نتایج آن‌ها نشان‌دهنده اثربخشی رویکرد ارایه‌شده در طراحی شبکه‌های زنجیره تامین بیودیزل تحت عدم قطعیت‌ها است و تعداد، مکان و ظرفیت تسهیلات را باهدف به حداقل رساندن هزینه کلی زنجیره تامین تعیین می‌کند. گولر و همکاران [۱۹] یک رویکرد مدل‌سازی مناسب و تجزیه و تحلیل حساسیت برای تاسیسات انرژی زیست‌توده ارایه کردند. برای این منظور، این مطالعه رویکردی برای تعیین مکان تاسیسات زیست‌توده ارایه می‌دهد که سامانه‌های اطلاعات جغرافیایی (GIS)، منطق فازی و بهترین راه حل بدترین روش (BWM) را که یک روش تصمیم‌گیری چند معیاره (MCDM) و به تازگی توسعه یافته است، با یکدیگر ترکیب می‌کنند. پوراتیج و همکاران [۱۳] یک رویکرد بهینه‌سازی دو هدفه برای عرضه زباله‌های متعدد کشاورزی و صنعتی به یک سیستم تولید هم‌زمان و ترویج اقتصاد زیستی قابل بازیافت ارایه دادند. هدف از این تحقیق ارزیابی کمی است که نشان دهد آیا حمل انواع مختلف زیست‌توده به

نیروگاه به جای دفن زباله، اقتصادی و زیستمحیطی است و تعیین زیستتوده موردنیاز با توجه به در دسترس بودن نیروی تولید برای هر زیستتوده با منشا کشاورزی و صنعتی چه میزان است. سانچز گارسیا و همکاران [۲۰] مساله طراحی زنجیره تامین زیستتوده را در شرایط چندهدفه بررسی کرده و بر روی به حداقل رساندن هم زمان هزینه کل و انتشار کربن از وسایل حمل و نقل تمرکز کرده‌اند. ایشان در تحقیق خود، مدل‌های تصادفی و فازی برای تصمیم‌گیری استراتژیک (مکان‌های بهینه کارخانه) و تصمیم‌گیری‌های تاکتیکی (جریان‌های مواد، انواع کامیون و غیره)، تحت عدم قطعیت تقاضا را توسعه داده و برای حل این مدل‌ها از رویکرد اپسیلون محدودیت استفاده کرده‌اند. احمدوند و همکاران [۱۴] یک مدل بهینه‌سازی دوهدفه برای برنامه‌ریزی تاکتیکی زنجیره‌های تامین زیستتوده مبتنی بر جنگل به منظور تعیین معاوضه بین هزینه‌های کل و انحرافات احتمالی از ذخیره اینمی توسعه دادند. در تحقیق ایشان، هدف اول به حداقل رساندن هزینه‌های زنجیره تامین بالادستی و هدف دوم به حداقل رساندن انحرافات منفی موجودی ماهیانه از موجودی اینمی است. متغیرهای تصمیم‌گیری شامل جریان بهینه زیستتوده ماهانه، پیش‌پردازش و سطوح موجودی است. نتایج نشان می‌دهد که در صورت انحراف سطح موجودی از موجودی اینمی، حداقل ۱۸ درصد صرفه‌جویی در هزینه امکان‌پذیر است. در مطالعه دیگری، مساله طراحی شبکه زنجیره تامین زیستتوده مبتنی بر جنگل برای تولید گاز سنتز در سطح تاکتیکی با در نظر گرفتن عدم قطعیت‌ها توسط احمدوند و صولتی [۲۱] بررسی شده است. در این تحقیق، یک مدل بهینه‌سازی استوار توسعه‌یافته و برای یک آسیاب خمیرسازی کاغذ کرافت در بریتیش کلمبیا کانادا به عنوان مطالعه موردی اعمال شده است. کل هزینه زنجیره تامین مطالعه موردنی بر اساس مدل بهینه‌سازی استوار ۶۷ درصد بیشتر از مدل قطعی است، با این حال، مدل قوی یک راه حل بهینه واحد ارایه می‌دهد که برای همه مقادیر پارامتر در بازه‌های عدم قطعیت در نظر گرفته شده امکان‌پذیر است. خدیوی [۲۲] در مطالعه خود به گازی شدن به عنوان یکی از فناوری‌های پردازش برای تبدیل زیستتوده به گاز سنتز و گاز طبیعی تجدیدپذیر پرداخته است. همچنین، در مطالعه خود به امکان‌سنجی اقتصادی و میزان کاهش انتشار به عنوان عوامل مهمی که بر تصمیمات سرمایه‌گذاری مربوط به گاز سازی زیستتوده تاثیر گذارند، توجه کرده‌اند. بنابراین، پس از شناسایی بهترین جایگزین برای تبدیل به گاز برای سرمایه‌گذاری، به حداقل رساندن هزینه‌ها و انتشارات زنجیره تامین زیستتوده بسیار مهم است، زیرا هزینه‌های زنجیره تامین می‌تواند جبران شود. ونگ و همکاران [۳] یک مطالعه تطبیقی بر روی دو پروژه ناشی از فعالیت‌های زنجیره تامین می‌تواند جبران شود. ونگ و همکاران [۳] یک مطالعه تطبیقی بر روی دو پروژه تصفیه بیوگاز از زباله‌های آبزی پروری، به عنوان یک صنعت معمولی با مصرف منابع بالا و صنعت کشاورزی انجام دادند. روش ارزیابی چرخه عمر برای تجزیه و تحلیل شدت اثرات زیست محیطی و ارایه طرح‌های بهبود و بهینه‌سازی هدفمند اتخاذ شده است. شوچنکو و همکاران [۲۳] در مطالعه خود ترکیب، خواص، ساختار و کاربرد تولید خمیر کرافت سفیدشده زیستی اصلاح شده با تبدیل کاتالیزوری با به کار گیری آنزیم‌های پنی سیلیم و روکولوزوم نشان دادند. درنتیجه بیوکاتالیز انجام شده، محصولات محلول قند که شامل عمدتاً گلوکز، زایلوبیوز، زایلوز و همچنین سایر قندهای احیاکننده جزیبی هستند به دست آمد. بای و همکاران [۶] در تحقیق خود سناریوهای پرورش خوک و استفاده از منابع کود اصلی ناشی از آن را از دیدگاه‌های زیست محیطی، اقتصادی و

اجتماعی برای تولید زیست‌توده را بررسی کرده‌اند. نتایج نشان می‌دهد که پرورش خوک در چین خطرات زیست‌محیطی، اقتصادی و اجتماعی بالقوه قابل توجهی دارد. حسین زاده و همکاران [۹]، یک تجزیه و تحلیل برای ابعاد پایداری در دنیای واقعی با استفاده از ارزیابی چرخه زندگی زیست‌محیطی و اجتماعی برای منابع زیست‌توده پایدار ارایه کرده‌اند. بنابراین، در مطالعه خود بر سه رکن اصلی پایداری، یعنی زیست‌محیطی، اقتصادی و اجتماعی تمرکز کرده‌اند و نشان داد که به طور سنتی، ارزیابی چرخه حیات زیست‌محیطی به طور گسترده برای ارزیابی اثرات زیست‌محیطی محصولات در طول چرخه عمر آنها پذیرفته شده است.

بر اساس بررسی‌هایی که در ادبیات تحقیق انجام‌شده است، طبق دانش به دست آمده مطالعه‌ای که به‌طور هم‌زمان یک رویکرد راه حل چند مرحله‌ای با ترکیب یک مدل‌سازی برای مکان‌یابی و مسیریابی مراکز پالایشگاهی تولید زیست‌توده که قادر باشد ضمن تعیین مکان‌های مستعد جریان زنجیره تامین پایدار زیست‌توده را مدیریت کند، وجود ندارد. در این راستا برای رفع شکاف شناسایی شده در ادبیات مربوط به موضوع تحقیق، این مطالعه در درجه اول یک مدل یکپارچه که به‌طور هم‌زمان هم مکان‌یابی و هم مسیریابی در طراحی شبکه زنجیره تامین پایدار زیست‌توده ارایه می‌دهد. از طرفی، پایداری محیطی با ارزیابی فاصله مربوط به واحدهای اکولوژیکی مدیریت می‌شود. بنابراین، تحقیق حاضر یک مدل چندمنظوره را پیشنهاد می‌کند که سود کل را حداقل می‌کند و فاصله بین تاسیسات زیست‌توده در زنجیره تامین را به حداقل می‌رساند.

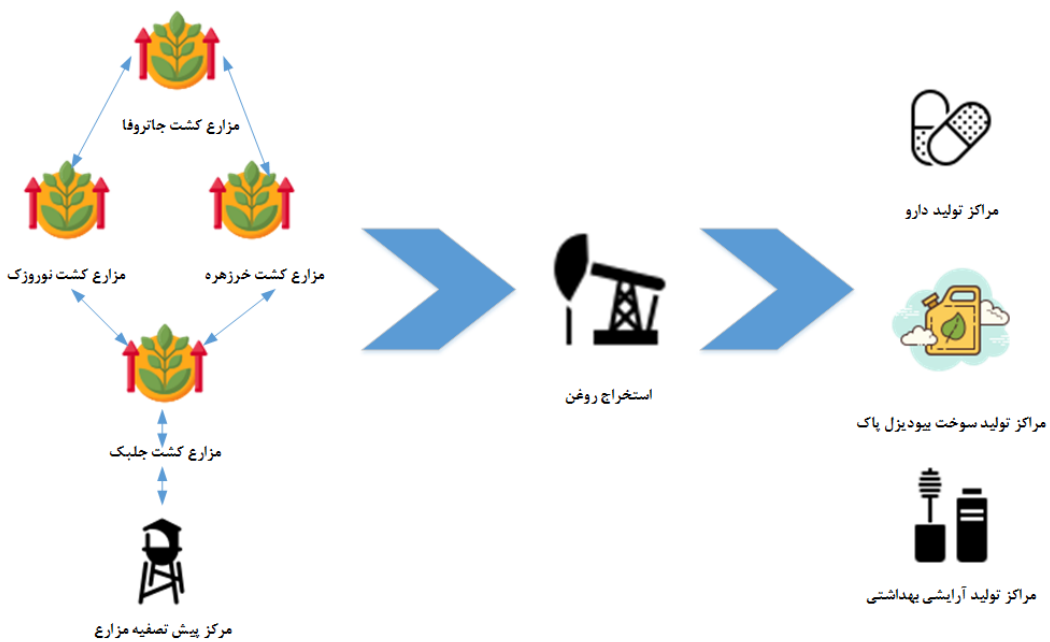
در جدول ۱، طبقه‌بندی مهم‌ترین مقالات مورد مطالعه بر اساس نوع زیست‌توده و نوع رویکرد مدل‌سازی طبقه‌بندی شده است.

**جدول ۱.** مطالعات پیشین در زمینه شبکه زنجیره تامین زیست‌توده

منبع	تعداد لایه	چند محصولی	چند دوره‌ای	تنوع موارد ورودی	تنوع محصول	مواد ورودی	محصول	نوایع هدف							رویکرد حل	فراتکاری استوار
								هزینه	سود	آرایه	انتشار	صرف	اصغری	قطعی	اجتماعی	فراتکاری
[۱۵]	دو			*	*	*	محصول بیودبیزل	روغن پسماند، سویا، آفتابگردان، کلتزا		*	*					
[۳]	دو			*	*	*	ریزجلبک	گازها و فاضلاب		*						
[۱۷]	دو			*	*	*	ریزجلبک	جاتروفا، پسماند، کشاورزی، کود دامی		*						
[۱۸]	دو			*	*	*	محصول بیودبیزل	نوروزک، جاتروفا		*			*			
[۱۳]	دو			*	*	*		زباله‌های کشاورزی	سیستم بازیافت			*				
[۲۱]	سه				*	*		زیله جنگلی	گاز ستر							
[۲۲]	دو				*	*		خمیر کاغذ طبیعی	گاز ستر و گاز				*			
[۲۳]	دو				*	*		خمیر کرافت	آنزیم‌های پنی سلیم و روکولوزوم		*					
[۶]	سه			*	*	*		برق	کود خوک		*					
[۹]	دو			*	*	*		زیست‌توده	کود حیوانی		*					
	چهار			*	*	*		سوخت بیودبیزل، مواد اولیه دارو و لوازم آرایشی و بهداشتی	جاتروفا، نوروزک، خزهره و ریز جلبک و روغن‌های پسماند خوارکی		*	*	*	*		تحقیق حاضر

### ۳ روش تحقیق

شبکه زنجیره تامین پیشنهادی یک شبکه ۴ لایه شامل مراکز تامین شامل، مزارع کاشت جاتروفه، نوروزک، خرزهه و ریزجلبک و مراکز تامین روغن‌های پسماند خوراکی، مراکز جمع آوری شامل، استخراج روغن و مراکز پیش‌تصفیه ضایعات روغن، مرکز پالایش شامل پالایشگاه‌های زیستی و مراکز تولید شامل مراکز تولید بیودیزل، تولید لوازم آرایشی و بهداشتی و تولید دارو هست. مدل ارایه شده یک مدل ریاضی چندهدفه عدد صحیح مختلط (MILP) است که هزینه‌های زنجیره تامین اعم از هزینه احداث، تولید، نگهداری موجودی و حمل و نقل و اثرات زیستمحیطی را حداقل می‌کند. چارچوب مدل پیشنهادی برای انجام این تحقیق به صورت زیر است. در ادامه نمادگذاری که برای اندیس، متغیر و پارامترهای مدل در نظر گرفته شده، معرفی می‌گردد. در شکل ۱، ساختار زنجیره تامین این تحقیق نشان داده شده است.



شکل ۱. ساختار زنجیره تامین

### ۳-۱ مفروضات مدل

مفهومی که در ساختن مدل ریاضی ارایه شده به کار رفته‌اند مطابق زیر هستند:

- مدل زنجیره تامین ارایه شده یک مدل چندلایه و چند محصولی است. محصولات نهایی شبکه زنجیره تامین پیشنهادی سوخت دیزل، لوازم آرایشی و بهداشتی، مواد اولیه دارو هست.
- تمامی تقاضاهای مربوط به بیودیزل، لوازم آرایشی و بهداشتی و مواد اولیه دارو باید برآورده شوند و کمبود مجاز نیست.
- مواد اولیه موردنیاز برای تامین تقاضای بیودیزل، لوازم آرایشی و بهداشتی و مواد اولیه دارو از مزارع داخلی جاتروفه، نوروزک، خرزهه و ریز جلبک و روغن‌های پسماند خوراکی فراهم می‌شود و واردات ماده خام مجاز نیست.
- مکان‌های مراکز مصرف بیودیزل، لوازم آرایشی و بهداشتی و مواد اولیه دارو مشخص و ثابت هستند.

- مکان‌های بالقوه برای کاشت جاتروفا، نوروزک، خرزهه و ریز جلبک، مراکز استخراج و مراکز پیش‌تصفیه روغن و احداث پالایشگاه مشخص هستند.
- حمل و نقل درون شبکه زنجیره تامین بیو دیزل مورد مطالعه فقط به وسیله یک مد جاده‌ای صورت می‌گیرد.
- امکان توسعه ظرفیت برای مزارع و کلیه تسهیلات باز شده وجود ندارد.
- تسهیلات باز شده در هر دوره تا پایان افق برنامه‌ریزی فعال خواهد بود.
- همه پارامترها ماهیت قطعی دارند.
- امکان نگهداری موجودی تنها برای بیو دیزل در پالایشگاه زیستی وجود دارد و مقدار موجودی آن باید کوچک‌تر مساوی بیشترین حد موجودی باشد.

### ۲-۳ نمادگذاری

اندیس‌ها، پارامترها و متغیرهای به کار رفته در مدل ریاضی به شرح زیر هستند.

**اندیس‌ها:** اندیس‌های مورد استفاده در مدل سازی ریاضی در زیر معرفی شده‌اند.

اندیس مکان‌های کاندید برای مراکز کاشت جاتروفا  $j = 1, 2, 3, \dots, J$

اندیس مکان‌های کاندید برای مراکز کاشت نوروزک  $n = 1, 2, 3, \dots, N$

اندیس مکان‌های کاندید برای مراکز کاشت خرزهه  $o = 1, 2, 3, \dots, O$

اندیس مکان‌های کاندید برای مراکز کاشت جلبک  $m = 1, 2, 3, \dots, M$

اندیس مکان‌های کاندید برای مراکز تامین ضایعات روغن  $w = 1, 2, 3, \dots, W$

اندیس مکان‌های کاندید برای مراکز جمع‌آوری و استخراج روغن جاتروفا، خرزهه، نوروزک و

جلبک  $i = 1, 2, 3, \dots, I$

اندیس مکان‌های کاندید برای مراکز جمع‌آوری و پیش‌تصفیه ضایعات روغن  $p = 1, 2, 3, \dots, P$

اندیس مکان‌های کاندید برای مراکز پالایشگاه زیستی  $k = 1, 2, 3, \dots, K$

اندیس پالایشگاه‌های دیزل  $b = 1, 2, 3, \dots, B$

اندیس مرکز تولید لوازم آرایشی و بهداشتی  $s = 1, 2, 3, \dots, S$

اندیس مرکز تولید دارو  $h = 1, 2, 3, \dots, H$

اندیس دوره زمانی  $t = 1, 2, 3, \dots, T$

$\eta = \{j, n, o\}$  اجتماع اندیس‌های

**پارامترها:** پارامترهای به کار گرفته شده در این تحقیق بر دو قسم طبقه‌بندی می‌شوند. پارامترهای فنی و پارامترهای هزینه‌ای.

**(الف) پارامترهای فنی:** پارامترهای فنی مورد استفاده در زیر معرفی شده‌اند.

$D_{bt}$  تقاضای پالایشگاه‌های دیزل برای بیو دیزل در دوره  $t$

تقاضای گلیسیرین در دوره $t$	$D'_t$
تقاضای مواد اولیه دارو در دوره $t$	$D''_t$
مقدار روغن پسماند عرضه شده توسط مرکز تامین $w$ در دوره $t$	$Ro_{wt}$
حداقل زمین اختصاص داده شده برای مرکز کاشت جاتروفا در مکان $j$	$LF'_j$
حداکثر زمین در دسترس برای مرکز کاشت جاتروفا در مکان $j$	$UF'_j$
حداقل زمین اختصاص داده شده برای مرکز کاشت نوروزک در مکان $n$	$LF''_n$
حداکثر زمین در دسترس برای مرکز کاشت نوروزک در مکان $n$	$UF''_n$
حداقل زمین اختصاص داده شده برای مرکز کاشت خرزهره در مکان $o$	$LF''_o$
حداکثر زمین در دسترس برای مرکز کاشت خرزهره در مکان $o$	$UF''_o$
حداقل زمین اختصاص داده شده برای مرکز کاشت جلبک در مکان $m$	$LF^e_m$
حداکثر زمین در دسترس برای مرکز کاشت جلبک در مکان $m$	$UF^e_m$
حد پایین ظرفیت مرکز جمع‌آوری و استخراج روغن در مکان $i$	$LC^e_i$
حد بالای ظرفیت مرکز جمع‌آوری و استخراج روغن در مکان $i$	$UC^e_i$
حد پایین ظرفیت مرکز جمع‌آوری و پیش‌تصفیه ضایعات روغن در مکان $p$	$LC^r_p$
حد بالای ظرفیت مرکز جمع‌آوری و پیش‌تصفیه ضایعات روغن در مکان $p$	$UC^r_p$
حد پایین ظرفیت مرکز پالایشگاه زیستی در مکان $k$	$LC''_k$
حد بالای ظرفیت مرکز پالایشگاه زیستی در مکان $k$	$UC''_k$
ماکسیمم تعداد مناطقی که برای مرکز کاشت جاتروفا انتخاب می‌شود	$Maxu^1$
ماکسیمم تعداد مناطقی که برای مرکز کاشت نوروزک انتخاب می‌شود	$Maxu^2$
ماکسیمم تعداد مناطقی که برای مرکز کاشت خرزهره انتخاب می‌شود	$Maxu^3$
ماکسیمم تعداد مناطقی که برای مرکز کاشت جلبک انتخاب می‌شود	$Maxu^4$
ماکسیمم تعداد مناطقی که برای مرکز جمع‌آوری و استخراج روغن انتخاب می‌شود	$Maxu^5$
ماکسیمم تعداد مناطقی که برای جمع‌آوری و پیش‌تصفیه ضایعات روغن انتخاب می‌شود	$Maxu^6$
ماکسیمم تعداد مناطقی که برای مرکز پالایشگاه زیستی انتخاب می‌شود	$Maxu^7$
میزان بهره‌وری جاتروفا در هر هکتار در مکان $j$ در دوره $t$	$\mu^1_{jt}$
میزان بهره‌وری نوروزک در هر هکتار در مکان $n$ در دوره $t$	$\mu^2_{nt}$
میزان بهره‌وری خرزهره در هر هکتار در مکان $o$ در دوره $t$	$\mu^3_{ot}$
میزان بهره‌وری جلبک هر واحد مساحت در مکان $m$ در دوره $t$	$\mu^4_{mt}$
ضریب تبدیل جاتروفا به روغن جاتروفا	$\alpha^1$
ضریب تبدیل نوروزک به روغن نوروزک	$\alpha^2$
ضریب تبدیل خرزهره به روغن خرزهره	$\alpha^3$

$a^e$	ضریب تبدیل جلبک به روغن جلبک
$a^o$	ضریب تبدیل ضایعات روغن جمع آوری شده به ضایعات روغن پیش‌تصفیه
$p^1$	ضریب تبدیل جاتروفای موارد اولیه دارو
$p^r$	ضریب تبدیل نوروزک موارد اولیه دارو
$p^x$	ضریب تبدیل خرزهای موارد اولیه دارو
$p^d$	ضریب تبدیل جلبک مواد اولیه دارو
$B$	ضریب تبدیل روغن جاتروفای، نوروزک، خرزهای و جلبک بیو دیزل
$\Omega$	ضریب تبدیل ضایعات روغن پیش‌تصفیه بیو دیزل
$\max I$	حداکثر موجودی بیو دیزل در پالایشگاه زیستی

**ب) پارامترهای هزینه:** پارامترهای هزینه عبارت‌اند از هزینه ثابت، متغیر، تولید، نگهداری موجودی، حمل و نقل نشان داده شده است.

#### • هزینه ثابت

$FC_j^e$	هزینه ثابت کاشت جاتروفای در مکان $j$
$FC_n^r$	هزینه ثابت کاشت نوروزک در مکان $n$
$FC_o^x$	هزینه ثابت کاشت خرزهای در مکان $o$
$FC_m^d$	هزینه ثابت کاشت جلبک در مکان $m$
$FC_i^o$	هزینه ثابت استقرار مرکز جمع آوری و استخراج روغن در مکان $i$
$FC_p^r$	هزینه ثابت استقرار مرکز جمع آوری و پیش‌تصفیه ضایعات روغن در مکان $p$
$FC_k^y$	هزینه ثابت استقرار مرکز پالایشگاه زیستی در مکان $k$

#### • هزینه متغیر

$VC_j^e$	هزینه متغیر کاشت جاتروفای در هر هکتار در مکان $j$
$VC_n^r$	هزینه متغیر کاشت نوروزک در مکان $n$
$VC_o^x$	هزینه متغیر کاشت خرزهای در مکان $o$
$VC_{mt}^d$	هزینه متغیر کاشت جلبک در مکان $m$ در دوره $t$
$VC_{it}^o$	هزینه متغیر هر واحد ظرفیت مرکز جمع آوری و استخراج روغن در مکان $i$ در دوره $t$
$VC_{pt}^r$	هزینه متغیر هر واحد ظرفیت مرکز جمع آوری و پیش‌تصفیه ضایعات روغن در مکان $p$ در دوره $t$
$VC_{kt}^y$	هزینه متغیر هر واحد ظرفیت مرکز پالایشگاه زیستی در مکان $k$ در دوره $t$

### • هزینه تولید

هزینه تولید هر واحد جاتروفا در مکان $j$ در دوره $t$	$PC_{jt}^l$
هزینه تولید هر واحد نوروزک در مکان $n$ در دوره $t$	$PC_{nt}^r$
هزینه تولید هر واحد خرزهه در مکان $o$ در دوره $t$	$PC_{ot}^r$
هزینه تولید هر واحد جلبک در مکان $m$ در دوره $t$	$PC_{mt}^t$
هزینه واحد CO <sub>2</sub> برای تولید جلبک در مکان $m$ در دوره $t$	$CCO_2^m$
هزینه جمع‌آوری ضایعات روغن در مرکز تامین $w$ در دوره $t$	$PC_{wt}^o$
هزینه تولید هر واحد روغن جاتروفا در مرکز استخراج روغن در مکان $i$ در دوره $t$	$PC_{it}^l$
هزینه تولید هر واحد روغن نوروزک در مرکز استخراج روغن در مکان $i$ در دوره $t$	$PC_{it}^r$
هزینه تولید هر واحد روغن خرزهه در مرکز استخراج روغن در مکان $i$ در دوره $t$	$PC_{it}^r$
هزینه تولید هر واحد روغن جلبک در مرکز استخراج روغن در مکان $i$ در دوره $t$	$PC_{it}^t$
هزینه پیش‌تصفیه ضایعات روغن در مکان $p$ در دوره $t$	$PC_{pt}^{l'}$
هزینه تولید بیو دیزل در مکان پالایشگاه زیستی $k$ در دوره $t$	$PC_{kt}^{l''}$
هزینه تولید گلیسیرین در مکان پالایشگاه زیستی $k$ در دوره $t$	$PC_{kt}^{l''}$
هزینه تولید هر واحد مواد اولیه دارو در مرکز استخراج روغن $i$ در دوره $t$	$PC_{it}^{l''}$
هزینه تولید کود در مرکز استخراج روغن $i$ در دوره $t$	$PC_{it}^{l''}$

### • هزینه نگهداری موجودی

$IC_{kt}^l$  هزینه واحد نگهداری موجودی بیو دیزل در مکان پالایشگاه زیستی  $k$  در دوره  $t$

### • هزینه حمل و نقل

هزینه واحد حمل و نقل جاتروفا از مرکز کاشت $j$ به مرکز استخراج روغن $i$ در دوره $t$	$TC_{jit}^l$
هزینه واحد حمل و نقل نوروزک از مرکز کاشت $n$ به مرکز استخراج روغن $i$ در دوره $t$	$TC_{nit}^r$
هزینه واحد حمل و نقل خرزهه از مرکز کاشت $o$ به مرکز استخراج روغن $i$ در دوره $t$	$TC_{oit}^r$
هزینه واحد حمل و نقل جلبک از مرکز کاشت $m$ به مرکز استخراج روغن $i$ توسط در دوره $t$	$TC_{mit}^t$
هزینه واحد حمل و نقل ضایعات روغن از مرکز تامین $w$ به مرکز پیش‌تصفیه $p$ توسط در دوره $t$	$TC_{wpt}^o$
هزینه واحد حمل و نقل روغن جاتروفا، نوروزک، خرزهه و جلبک از مرکز استخراج روغن $i$ به پالایشگاه زیستی $k$ در دوره $t$	$TC_{ikt}^l$
هزینه واحد حمل و نقل ضایعات روغن پیش‌تصفیه شده از مرکز پیش‌تصفیه $p$ به پالایشگاه زیستی $k$ در دوره $t$	$TC_{pkt}^r$
هزینه واحد حمل و نقل بیو دیزل از مرکز پالایشگاه زیستی $k$ به مرکز مصرف بیو دیزل $b$ در دوره $t$	$TC_{kbt}^t$

$TC_{it}^q$	هزینه واحد حمل و نقل کود از مرکز استخراج روغن $i$ به مراکز کاشت در دوره $t$
$Cpp_{it}^{12}$	هزینه واحد حمل و نقل گلیسیرین ارسالی از پالایشگاه $k$ به مشتری در دوره $t$
$Cpp_{it}^{13}$	هزینه واحد حمل و نقل مقدار مواد اولیه دارو ارسالی از مراکز جمع‌آوری و استخراج روغن $i$ به مشتری در دوره $t$

### ج) پارامترهای اجتماعی

$hr_{jt}^1$	تعداد نیروی انسانی موجود در مرکز کاشت جاتروفا در محل $j$ در دوره $t$
$hr_{nt}^r$	تعداد نیروی انسانی موجود در مرکز کاشت نوروزک در محل $n$ در دوره $t$
$hr_{ot}^r$	تعداد نیروی انسانی موجود در مرکز کاشت خرزهره در محل $o$ در دوره $t$
$hr_{mt}^e$	تعداد نیروی انسانی موجود در مرکز کاشت جلبک در محل $m$ در دوره $t$
$hr_{st}^o$	تعداد نیروی انسانی موجود در مراکز تولید لوازم آرایشی در دوره $t$
$hr_{bt}^e$	تعداد نیروی انسانی موجود در مراکز تولید سوخت دیزل در دوره $t$
$hr_{ht}^v$	تعداد نیروی انسانی موجود در مراکز تولید دارو در دوره $t$

**متغیرهای تصمیمی:** متغیرها در این تحقیق بر دو نوع باینری و پیوسته یا گسسته هستند.

**الف) متغیرهای تصمیمی باینری:** متغیرهای تصمیم باینری مورد استفاده عبارت اند از:

$u_j^1$	اگر مکان $j$ برای مرکز کاشت جاتروفا انتخاب شود ۱ در غیر این صورت صفر
$u_n^r$	اگر مکان $n$ برای مرکز کاشت نوروزک انتخاب شود ۱ در غیر این صورت صفر
$u_o^r$	اگر مکان $o$ برای مرکز کاشت خرزهره انتخاب شود ۱ در غیر این صورت صفر
$u_m^e$	اگر مکان $m$ برای مرکز کاشت جلبک انتخاب شود ۱ در غیر این صورت صفر
$u_i^o$	اگر مکان $i$ برای باز کردن مرکز جمع‌آوری و استخراج روغن انتخاب شود ۱ در غیر این صورت صفر
$u_p^o$	اگر مکان $p$ برای باز کردن مرکز جمع‌آوری و پیش تصفیه روغن انتخاب شود ۱ در غیر این صورت صفر
$u_k^v$	اگر مکان $k$ برای باز کردن مرکز پالایشگاه زیستی انتخاب شود ۱ در غیر این صورت صفر

**ب) متغیرهای تصمیمی پیوسته و گسسته:** متغیرهای پیوسته عبارت اند از:

$I_{kt}^r$	مقدار موجودی بیو دیzel در مرکز پالایشگاه زیستی $k$ در دوره $t$
$P_{jt}^1$	مقدار جاتروفا تولید شده در مرکز کاشت جاتروفا در مکان $j$ در دوره $t$
$P_{nt}^r$	مقدار نوروزک تولید شده در مکان $n$ در دوره $t$
$P_{ot}^r$	مقدار خرزهره تولید شده در مکان $o$ در دوره $t$
$P_{mt}^e$	مقدار جلبک تولید شده در مرکز کاشت $m$ در دوره $t$
$CO_{mt}^v$	مقدار $CO_2$ مصرف شده در مرکز کاشت جلبک $m$ در دوره $t$
$P_{it}^v$	مقدار روغن جاتروفا تولید شده در مرکز استخراج روغن $i$ در دوره $t$

مقدار روغن نوروزک تولیدشده در مرکز استخراج روغن $i$ در دوره $t$	$P_{it}^v$
مقدار روغن خرزهه تولیدشده در مرکز استخراج روغن $i$ در دوره $t$	$P_{it}^h$
مقدار روغن جلبک تولیدشده در مرکز استخراج روغن $i$ در دوره $t$	$P_{it}^a$
مقدار ضایعات روغن پیش‌تصفیه تولیدشده در مکان $p$ در دوره $t$	$P_{pt}^{1\cdot}$
مقدار تولید بیودیزل در مکان پالایشگاه زیستی $k$ در دوره $t$	$P_{kt}^{11}$
مقدار تولید گلیسیرین در مکان پالایشگاه زیستی $k$ در دوره $t$	$P_{kt}^{12}$
مقدار تولید مواد اولیه دارو در مرکز استخراج روغن $i$ در دوره $t$	$P_{it}^{13}$
مقدار تولید کود در مرکز استخراج روغن $i$ در دوره $t$	$P_{it}^{14}$
مقدار حمل و نقل جاتروفا از مرکز کاشت ز به مرکز استخراج روغن $i$ در دوره $t$	$T_{jit}^i$
مقدار حمل و نقل نوروزک از مرکز کاشت $n$ به مرکز استخراج روغن $i$ در دوره $t$	$T_{nit}^i$
مقدار حمل و نقل خرزهه از مرکز کاشت $o$ به مرکز استخراج روغن $i$ در دوره $t$	$T_{oit}^i$
مقدار حمل و نقل جلبک از مرکز کاشت $m$ به مرکز استخراج روغن $i$ در دوره $t$	$T_{mit}^i$
مقدار حمل و نقل ضایعات روغن از مرکز تامین $w$ به مرکز پیش‌تصفیه $p$ در دوره $t$	$T_{wpt}^o$
مقدار حمل و نقل روغن جاتروفا، نوروزک، خرزهه و جلبک از مرکز استخراج روغن $i$ به پالایشگاه زیستی $k$ در دوره $t$	$T_{ikt}^i$
مقدار حمل و نقل ضایعات روغن پیش‌تصفیه شده از مرکز پیش‌تصفیه $p$ به پالایشگاه زیستی $k$ در دوره $t$	$T_{pkt}^v$
مقدار حمل و نقل بیودیزل از مرکز پالایشگاه زیستی $k$ به مرکز مصرف $b$ در دوره $t$	$T_{kbt}^h$
مقدار حمل و نقل کود از مرکز استخراج روغن $i$ به مراکز کاشت در دوره $t$	$T_{it}^a$
مقدار ناحیه کشت شده جاتروفا در مکان $j$	$V_j^i$
مقدار ناحیه کشت شده نوروزک در مکان $n$	$V_n^i$
مقدار ناحیه کشت شده خرزهه در مکان $o$	$V_o^i$
مقدار ناحیه کشت شده جلبک در مکان $m$	$V_{mt}^i$
مقدار کل ظرفیت مرکز جمع‌آوری و استخراج روغن $i$ در دوره $t$	$V_{it}^o$
مقدار کل ظرفیت مرکز جمع‌آوری و پیش‌تصفیه $p$ در دوره $t$	$V_{pt}^v$
مقدار کل ظرفیت مرکز پالایشگاه زیستی $k$ در دوره $t$	$V_{kt}^a$
مقدار گلیسیرین ارسالی از پالایشگاه $k$ به مشتری در دوره $t$	$pp_{kt}^{12}$
مقدار مواد اولیه دارو ارسالی از مراکز جمع‌آوری و استخراج روغن $i$ به مشتری در دوره $t$	$pp_{it}^{13}$

### ۳-۳ محدودیت‌ها و توابع هدف

#### الف) توابع هدف:

در این قسمت توابع هدف در نظر گرفته شده که شامل کاهش هزینه‌های ثابت، متغیر، تولید، نگهداری موجودی و حمل و نقل و تاثیرات زیست‌محیطی و تابع اثرات اجتماعی می‌باشد. مدل زنجیره تامین زیست‌توده پایدار حاضر در برگیرنده توجه به جنبه‌های اقتصادی، زیست‌محیطی و اجتماعی به صورت همزمان است. در تابع هدف اقتصادی، مجموع کل هزینه‌های ثابت و متغیر شامل هزینه احداث انواع مراکز، هزینه‌های تولید، هزینه‌های نگهداری موجودی، و هزینه‌های حمل و نقل حداقل می‌گردد. علاوه بر این، حفظ و مراقبت از محیط زیست در تمام زنجیره تامین، از تولید تا مصرف، دارای اهمیت است. این مهم در مدل پیشنهادی با تبدیل پسماند به محصولات مورد نیاز و مفید با استفاده از فناوری‌های سبز تامین می‌شود. سرانجام، به منظور تکمیل اهداف توسعه مدلی پایدار، افزایش اشتغال‌زایی و حداکثر کردن مجموع شغل‌های ایجاد شده در مراکز مختلف طول زنجیره تامین و دوره‌های زمانی به عنوان هدف و مسئولیت مهم اجتماعی لحاظ شده است. نحوه محاسبه و بهینه‌سازی این سه تابع هدف در ادامه آمده است.

#### الف-۱) تابع هدف هزینه:

$$\begin{aligned} \min z_1 = & \sum_k \sum_t VC_{kt}^v \times V_{kt}^v + \sum_j \sum_t PC_{jt}^v \times P_{jt}^v + \sum_n \sum_t PC_{nt}^v \times P_{nt}^v + \sum_o \sum_t PC_{ot}^v \times P_{ot}^v + \sum_m \sum_t PC_{mt}^v \times P_{mt}^v + \sum_m \sum_t CCO_{mt}^v \times CO_{mt}^v + \\ & \sum_p \sum_t PC_{pt}^v \times P_{pt}^v + \sum_k \sum_t PC_{kt}^{11} \times P_{kt}^{11} + \sum_k \sum_t PC_{kt}^{12} * P_{kt}^{12} + \sum_i \sum_t PC_{it}^{12} * P_{it}^{12} + \sum_i \sum_t PC_{it}^{14} \times P_{it}^{14} + \sum_k \sum_t IC_{kt}^v \times I_{kt}^v + \\ & \sum_j \sum_i \sum_t TC_{jxit}^v \times T_{jxit}^v + \sum_k \sum_i \sum_t CPP_{kt}^{11} \times PP_{kt}^{11} + \sum_k \sum_i \sum_t CPP_{kt}^{12} \times PP_{kt}^{12} + \sum_n \sum_i \sum_t TC_{nit}^v \times T_{nit}^v + \\ & \sum_o \sum_i \sum_t TC_{oit}^v \times T_{oit}^v + \sum_m \sum_i \sum_t TC_{mit}^v \times T_{mit}^v + \sum_w \sum_p \sum_t TC_{wpt}^v \times T_{wpt}^v + \\ & \sum_i \sum_k \sum_t TC_{ikt}^v \times T_{ikt}^v + \sum_p \sum_k \sum_t TC_{pkt}^v \times T_{pkt}^v + \sum_k \sum_b \sum_t TC_{kbt}^v \times T_{kbt}^v + \sum_i \sum_\eta \sum_t TC_{it}^v \times T_{it}^v \end{aligned}$$

#### الف-۲) تابع هدف تاثیرات زیست‌محیطی:

$$\begin{aligned} Minz_r = & \sum_i \sum_t \alpha_i P_{it}^v + \sum_i \sum_t \alpha_{12} P_{it}^v + \sum_i \sum_t \alpha_r P_{it}^v + \sum_i \sum_t \alpha_t P_{it}^v \\ & + \sum_i \sum_t \alpha_o P_{it}^{12} + \sum_p \sum_t \rho_i P_{pt}^{12} + \sum_w \sum_t \rho_r RO_{wt} + \sum_k \sum_t \rho_t P_{kt}^{11} \\ & + \sum_k \sum_t \rho_i P_{kt}^{12} + \sum_i \sum_t \beta P_{it}^{14} \end{aligned}$$

#### الف-۳) تابع هدف اجتماعی

$$\begin{aligned} Maxz_r = & \sum_j \sum_t hr_{ji}^v u_{jt}^v + \sum_n \sum_t hr_{nt}^v u_{nt}^v + \sum_o \sum_t hr_{ot}^v u_{ot}^v \\ & + \sum_m \sum_t hr_{mt}^v u_{mt}^v + \sum_i \sum_t hr_{it}^v u_{it}^v + \sum_p \sum_t hr_{pt}^v u_{pt}^v + \sum_k \sum_t hr_{kt}^v u_{kt}^v \end{aligned}$$

**ب) محدودیت‌ها:** در زیر تمامی محدودیت‌های مورداستفاده در این تحقیق معرفی شده‌اند.

$$\sum_k T_{kbt}^v = D_{bt}^v \quad \forall b, t \quad (1)$$

$$\sum_k P_{kt}^{12} = D_t^v \quad \forall t \quad (2)$$

$$\sum_i P_{it}^{12} = D_t^v \quad \forall t \quad (3)$$

$\sum_i T_{jit}^{\text{v}} = P_{jt}^{\text{v}}$	$\forall j, t$	(۴)
$\sum_i T_{nit}^{\text{v}} = P_{nt}^{\text{v}}$	$\forall n, t$	(۵)
$\sum_i T_{oit}^{\text{v}} = P_{ot}^{\text{v}}$	$\forall o, t$	(۶)
$\sum_i T_{mit}^{\text{v}} = P_{mt}^{\text{v}}$	$\forall m, t$	(۷)
$\sum_p T_{wpt}^{\text{o}} \leq RO_{wt}$	$\forall w, t$	(۸)
$P_{jt}^{\text{v}} \leq \mu_{jt}^{\text{v}} \times V_j^{\text{v}}$	$\forall j, t$	(۹)
$P_{nt}^{\text{v}} \leq \mu_{nt}^{\text{v}} \times V_n^{\text{v}}$	$\forall n, t$	(۱۰)
$P_{ot}^{\text{v}} \leq \mu_{ot}^{\text{v}} \times V_o^{\text{v}}$	$\forall o, t$	(۱۱)
$P_{mt}^{\text{v}} \leq \mu_{mt}^{\text{v}} \times V_{mt}^{\text{v}}$	$\forall m, t$	(۱۲)
$COV_{mt} = \gamma \times P_{mt}^{\text{v}}$	$\forall m, t$	(۱۳)
$P_{it}^{\text{v}} = \alpha^{\text{v}} \sum_j T_{jxit}^{\text{v}}$	$\forall i, t$	(۱۴)
$P_{it}^{\text{v}} = \alpha^{\text{v}} \sum_n T_{nit}^{\text{v}}$	$\forall i, t$	(۱۵)
$P_{it}^{\text{v}} = \alpha^{\text{v}} \sum_o T_{oit}^{\text{v}}$	$\forall i, t$	(۱۶)
$P_{it}^{\text{v}} = \alpha^{\text{v}} \sum_m T_{mit}^{\text{v}}$	$\forall i, t$	(۱۷)
$P_{pt}^{\text{v}} = \alpha^{\text{v}} \sum_w T_{wpt}^{\text{o}}$	$\forall p, t$	(۱۸)
$P_{kt}^{(1)} = \beta \cdot \sum_i T_{ikt}^{\text{v}} + \omega \cdot \sum_p T_{pkt}^{\text{v}}$	$\forall k, t$	(۱۹)
$P_{kt}^{(2)} = (\gamma - \beta) \cdot \sum_i T_{ikt}^{\text{v}} + (\gamma - \omega) \cdot \sum_p T_{pkt}^{\text{v}}$	$\forall k, t$	(۲۰)
$P_{it}^{(1)} = \rho^{\text{v}} \sum_j T_{jxit}^{\text{v}} + \rho^{\text{v}} \sum_n T_{nit}^{\text{v}} + \rho^{\text{v}} \sum_o T_{oit}^{\text{v}} + \rho^{\text{v}} \sum_m T_{mit}^{\text{v}}$	$\forall i, t$	(۲۱)
$P_{it}^{(2)} = (\gamma - \alpha^{\text{v}} - \rho^{\text{v}}) \sum_j T_{jxit}^{\text{v}} + (\gamma - \alpha^{\text{v}} - \rho^{\text{v}}) \sum_n T_{nit}^{\text{v}}$ + $(\gamma - \alpha^{\text{v}} - \rho^{\text{v}}) \sum_o T_{oit}^{\text{v}} + (\gamma - \alpha^{\text{v}} - \rho^{\text{v}}) \sum_m T_{mit}^{\text{v}}$	$\forall i, t$	(۲۲)
$P_{pt}^{(1)} = \sum_k T_{pkt}^{\text{v}}$	$\forall p, t$	(۲۳)
$I_{kt}^{\text{v}} = I_{k,t-1}^{\text{v}} + P_{kt}^{(1)} - \sum_b T_{kbt}^{\text{v}}$	$\forall k, t$	(۲۴)
$P_{it}^{(2)} = \sum_{\eta} T_{i\eta t}^{\text{v}}$	$\forall i, t$	(۲۵)
$LF_j^{\text{v}} u_j^{\text{v}} \leq V_j^{\text{v}} \leq UF_j^{\text{v}} u_j^{\text{v}}$	$\forall j$	(۲۶)
$LF_n^{\text{v}} u_n^{\text{v}} \leq V_n^{\text{v}} \leq UF_n^{\text{v}} u_n^{\text{v}}$	$\forall n$	(۲۷)
$LF_o^{\text{v}} u_o^{\text{v}} \leq V_o^{\text{v}} \leq UF_o^{\text{v}} u_o^{\text{v}}$	$\forall o$	(۲۸)
$LF_m^{\text{v}} u_m^{\text{v}} \leq V_{mt}^{\text{v}} \leq UF_m^{\text{v}} u_m^{\text{v}}$	$\forall m, t$	(۲۹)
$LC_i^{\text{v}} u_i^{\text{o}} \leq V_{it}^{\text{o}} \leq UC_i^{\text{v}} u_i^{\text{o}}$	$\forall i, t$	(۳۰)
$LC_p^{\text{v}} u_p^{\text{v}} \leq V_{pt}^{\text{v}} \leq UC_p^{\text{v}} u_p^{\text{v}}$	$\forall p, t$	(۳۱)
$LC_k^{\text{v}} u_k^{\text{v}} \leq V_{kt}^{\text{v}} \leq UC_k^{\text{v}} u_k^{\text{v}}$	$\forall k, t$	(۳۲)

$$\sum_j T_{jit}^1 + \sum_n T_{nit}^2 + \sum_o T_{oit}^3 + \sum_m T_{mit}^4 \leq V_{it}^0 \quad \forall i, t \quad (33)$$

$$\sum_w T_{wpt}^0 \leq V_{pt}^1 \quad \forall p, t \quad (34)$$

$$\sum_i T_{ikt}^1 + \sum_p T_{pkt}^2 \leq V_{kt}^3 \quad \forall k, t \quad (35)$$

$$P_{it}^1 + P_{it}^2 + P_{it}^3 + P_{it}^4 \leq V_{it}^0 \quad \forall i, t \quad (36)$$

$$P_{pt}^1 \leq V_{pt}^1 \quad \forall p, t \quad (37)$$

$$I_{kt}^1 \leq MaxI^1 \quad \forall k, t \quad (38)$$

$$\sum_j u_j^1 \leq Maxu^1 \quad (39)$$

$$\sum_n u_n^2 \leq Maxu^2 \quad (40)$$

$$\sum_o u_o^3 \leq Maxu^3 \quad (41)$$

$$\sum_m u_m^4 \leq Maxu^4 \quad (42)$$

$$\sum_i u_i^0 \leq Maxu^0 \quad (43)$$

$$\sum_p u_p^1 \leq Maxu^1 \quad (44)$$

$$\sum_k u_k^2 \leq Maxu^2 \quad (45)$$

$$\sum_i T_{ikt}^1 = P_{it}^1 + P_{it}^2 + P_{it}^3 + P_{it}^4 \quad \forall i, t \quad (46)$$

$$P_{kt}^3 \leq V_{kt}^2 \quad \forall k, t \quad (47)$$

*Continuous variables*  $\geq 0$  (48)

$$u_j^1, u_n^2, u_o^3, u_m^4, u_i^0, u_p^1, u_k^2 \in \{0, 1\} \quad (49)$$

محدودیت (۱) نشان‌دهنده اراضی تمام تقاضای بیو دیزل در دوره‌های مختلف است. محدودیت (۲)

نشان‌دهنده اراضی تمام تقاضای گلیسیرین در دوره‌های مختلف است. محدودیت (۳) نشان‌دهنده اراضی تمام تقاضای مواد اولیه دارو در دوره‌های مختلف است. محدودیت (۴) تضمین می‌کند تمام‌دانه جاتروفا تولید شده در مرکز کاشت جاتروفا به مرکز جمع‌آوری و استخراج روغن انتقال می‌یابد. محدودیت (۵) تضمین می‌کند تمام‌دانه نوروزک تولید شده در مرکز کاشت نوروزک به مرکز جمع‌آوری و استخراج روغن انتقال می‌یابد. محدودیت (۶) تضمین می‌کند تمام‌دانه خرزه‌ره تولید شده در مرکز کاشت خرزه‌ره به مرکز جمع‌آوری و استخراج روغن انتقال می‌یابد. محدودیت (۷) تضمین می‌کند تمام جلبک تولید شده در مرکز کاشت جلبک به مرکز جمع‌آوری و استخراج روغن انتقال می‌یابد. محدودیت (۸) تضمین می‌کند تمام روغن پسماند تولید شده در مرکز تامین به مرکز جمع‌آوری و پیش‌تصفیه ضایعات روغن انتقال می‌یابد. محدودیت (۹) نشان‌دهنده مقدار دانه جاتروفا تولید شده در ناحیه کشت با توجه به میزان بهره‌وری آن است. محدودیت (۱۰) نشان‌دهنده مقدار دانه نوروزک تولید شده در ناحیه کشت با توجه به میزان بهره‌وری آن است. محدودیت (۱۱) نشان‌دهنده مقدار دانه خرزه‌ره تولید شده در ناحیه کشت با توجه به میزان بهره‌وری آن است. محدودیت (۱۲) نشان‌دهنده مقدار جلبک تولید شده در ناحیه کشت با توجه به میزان بهره‌وری آن است. محدودیت (۱۳) میزان کربن دی‌اکسید مصرف شده در مرکز کشت جلبک را محاسبه می‌کند. [۲۲] نشان دادند برای تولید هر تن زیست‌توده دو تن کربن دی‌اکسید

موردنیاز است. محدودیت (۱۴) میزان روغن جاتروفای تولیدشده در مرکز استخراج روغن را با توجه به ضریب تبدیل جاتروفای به روغن نمایش می‌دهد. محدودیت (۱۵) میزان روغن نوروزک تولیدشده در مرکز استخراج روغن را با توجه به ضریب تبدیل نوروزک به روغن نمایش می‌دهد. محدودیت (۱۶) میزان روغن خرزهه را تولیدشده در مرکز استخراج روغن را با توجه به ضریب تبدیل خرزهه به روغن نمایش می‌دهد. محدودیت (۱۷) میزان روغن جلبک تولیدشده در مرکز استخراج روغن را با توجه به ضریب تبدیل جلبک به روغن نمایش می‌دهد. محدودیت (۱۸) میزان روغن ضایعات روغن تولیدشده در مرکز جمع‌آوری و پیش‌تصفیه را با توجه به ضریب تبدیل روغن نمایش می‌دهد. محدودیت (۱۹) مقدار تولید بیودیزل در پالایشگاه زیستی  $k$  ام را بر اساس ضرایب تبدیل تعیین می‌کند و نشان می‌دهد مقدار تولید بیودیزل برابر است با مقدار روغن حاصل از جاتروفای نوروزک، خرزهه و جلبک بر اساس ضریب تبدیل آن که از مرکز استخراج روغن به پالایشگاه منتقل شده و مقدار روغنی که از مرکز پیش‌تصفیه به پالایشگاه منتقل شده است. محدودیت (۲۰) مقدار تولید گلیسیرین در پالایشگاه زیستی  $k$  ام را تعیین می‌کند. محدودیت (۲۱) مقدار مواد اولیه دارو تولیدشده در مرکز جمع‌آوری و استخراج روغن را با توجه به ضریب تبدیل مواد اولیه کشت شده تعیین می‌کند. محدودیت (۲۲) مقدار کود تولیدشده در مرکز جمع‌آوری و استخراج روغن را با توجه به ضریب تبدیل مواد اولیه کشت شده تعیین می‌کند. محدودیت (۲۳) تضمین می‌کند تمام روغن پیش‌تصفیه تولیدشده در مرکز جمع‌آوری و پیش‌تصفیه به مرکز پالایشگاه زیستی انتقال می‌یابد. محدودیت (۲۴) مقدار سطح موجودی بیودیزل را در پالایشگاه زیستی در هر دوره تعیین می‌کند که برابر موجودی بیودیزل در پالایشگاه زیستی در دوره قبل به اضافه مقدار بیودیزلی که در همان دوره در پالایشگاه تولیدشده منهای مقدار بیودیزلی است که برای اراضی تقاضا به دست مشتری می‌رسد. محدودیت (۲۵) تضمین می‌کند تمام کود تولیدشده در مرکز جمع‌آوری و استخراج روغن به مراکز کاشت انتقال می‌یابد. محدودیت (۲۶) بیان می‌کند مقدار ناحیه اختصاص داده شده برای کشت جاتروفای بین حداقل زمین اختصاص داده شده و حداقل زمین در دسترس است. محدودیت (۲۷) بیان می‌کند مقدار ناحیه اختصاص داده شده برای کشت نوروزک بین حداقل زمین اختصاص داده شده و حداقل زمین در دسترس است. محدودیت (۲۸) بیان می‌کند مقدار ناحیه اختصاص داده شده برای کشت خرزهه بین حداقل زمین اختصاص داده شده و حداقل زمین در دسترس است. محدودیت (۲۹) بیان می‌کند مقدار ناحیه اختصاص داده شده برای کشت جلبک بین حداقل زمین اختصاص داده شده و حداقل زمین در دسترس است. محدودیت (۳۰) بیان می‌کند مقدار کل ظرفیت مرکز جمع‌آوری و استخراج روغن بین حد پایین و حد بالای ظرفیت مرکز جمع‌آوری و استخراج روغن است. محدودیت (۳۱) بیان می‌کند مقدار کل ظرفیت مرکز جمع‌آوری و پیش‌تصفیه ضایعات روغن بین حد پایین و حد بالای ظرفیت مرکز جمع‌آوری و پیش‌تصفیه ضایعات روغن است. محدودیت (۳۲) بیان می‌کند مقدار کل ظرفیت مرکز پالایشگاه زیستی بین حد پایین و حد بالای ظرفیت مرکز پالایشگاه زیستی است. محدودیت (۳۳) بیان می‌کند مجموع میزان جاتروفای، نوروزک، خرزهه و جلبک ارسالی از مراکز کاشت به مرکز استخراج روغن باید حداقل برابر مقدار کل ظرفیت مرکز استخراج روغن باشد. محدودیت (۳۴) بیان می‌کند مجموع میزان ضایعات روغن ارسالی از مراکز تامین به مرکز پیش‌تصفیه باید حداقل برابر مقدار کل

ظرفیت مرکز پیش‌تصفیه روغن باشد. محدودیت (۳۵) بیان می‌کند مجموع میزان روغن مواد اولیه و روغن پیش‌تصفیه ارسالی از مراکز استخراج روغن و پیش‌تصفیه ضایعات روغن به مرکز پالایشگاه زیستی باید حداقل برابر مقدار کل ظرفیت مرکز پالایشگاه زیستی باشد. محدودیت (۳۶) بیان می‌کند مجموع تولید روغن جاتروفا، روغن نوروزک، روغن خرزه، روغن جلبک باید حداقل برابر مقدار کل ظرفیت مرکز جمع آوری و استخراج روغن باشد. محدودیت (۳۷) بیان می‌کند مقدار روغن پیش‌تصفیه تولیدی در مرکز جمع آوری و پیش‌تصفیه ضایعات روغن باید حداقل برابر مقدار کل ظرفیت آن مرکز باشد. محدودیت (۳۸) بیان می‌کند مقدار موجودی بیو دیزل در مرکز پالایشگاه زیستی باید کوچک‌تر یا مساوی پارامتر ماکسیمم موجودی باشد. محدودیت (۳۹) یک حد بالا برای تعداد مراکز کاشت جاتروفا ایجاد شده در نظر می‌گیرد. محدودیت (۴۰) یک حد بالا برای تعداد مراکز کاشت جلبک ایجاد شده در تعداد مراکز کاشت نوروزک ایجاد شده در نظر می‌گیرد. محدودیت (۴۱) یک حد بالا برای تعداد مراکز کاشت جلبک ایجاد شده در خرزه ایجاد شده در نظر می‌گیرد. محدودیت (۴۲) یک حد بالا برای تعداد مراکز کاشت جلبک ایجاد شده در نظر می‌گیرد. محدودیت (۴۳) یک حد بالا برای تعداد مراکز جمع آوری و استخراج روغن ایجاد شده در نظر می‌گیرد. محدودیت (۴۴) یک حد بالا برای تعداد مراکز جمع آوری و پیش‌تصفیه ضایعات روغن ایجاد شده در نظر می‌گیرد. محدودیت (۴۵) یک حد بالا برای تعداد مراکز پالایشگاه زیستی ایجاد شده در نظر می‌گیرد. محدودیت (۴۶) بیان می‌کند مقدار روغن ارسالی از مرکز استخراج روغن به مرکز پالایشگاه زیستی برابر با مقادیر تولید روغن جاتروفا، روغن نوروزک، روغن خرزه و روغن جلبک است. محدودیت (۴۷) بیان می‌کند مقدار گلیسیرین تولیدی در مرکز پالایشگاه زیستی باید حداقل برابر مقدار کل ظرفیت آن مرکز باشد. محدودیت ۴۸ و ۴۹ تضمین می‌کند که متغیرهای تحقیق از نوع پیوسته و باینری هستند.

### ۳-۴ رویکرد حل مساله

در این تحقیق مساله به دو روش قطعی و فراتکاری حل شده است. برای حل قطعی از روش اپسیلون محدودیت و برای حل فراتکاری از روش فراتکاری NSGA-II استفاده شده است.

### ۳-۴-۱ روش اپسیلون محدودیت

مساله بهینه‌سازی در این تحقیق بر اساس روش اپسیلون محدودیت حل شده است. در روش اپسیلون محدودیت از بین توابع هدف مختلف، یکی انتخاب و سایر توابع هدف با در نظر گرفتن یک کران بالا به محدودیت تبدیل می‌شوند و مسئله به یک مدل برنامه‌ریزی خطی یک هدفه تبدیل می‌شود و به طریقه معمول برنامه‌ریزی خطی حل می‌شود. یکی از روش‌های دقیق به دست آوردن راه حل‌های پارتویی بهینه استفاده از روش اپسیلون محدودیت است. مزیت اصلی این روش نسبت به سایر روش‌ها بهینه‌سازی چنددهدفه کاربرد آن برای فضاهای حل غیر محدب است زیرا روش‌هایی از قبیل ترکیب وزنی اهداف در فضای نا محدب کارایی خود را از دست می‌دهند. زمان محاسباتی یک الگوریتم از ویژگی‌های مهم هر الگوریتم جهت ارزیابی آن است از آنجایی که یکی از ضعف‌های اساسی الگوریتم‌های مبتنی بر جستجوی دقیق از جمله روش اپسیلون محدودیت بالا بودن زمان

محاسباتی آن‌هاست، بدینهی است که به کارگیری الگوریتم فرا ابتکاری موجب کاهش شدید زمان محاسباتی خواهد شد. یکی از نسخه‌های اصلاح شده روش اپسیلون محدودیت، چارچوبی است که پیروز و خرم [۲۴] ارایه دادند و اخیراً جهانگیری و همکاران [۲۵] استفاده از آن را به دلیل داشتن دو مزیت عمدی توصیه کردند. یکی از مزایای این روش کاهش فضای جستجو برای یافتن نقاط غیرغالب است. یکی دیگر از مزایای این روش زمان اجرا کمتر آن در مقایسه با روش اصلی است. طبق این روش ابتدا مسئله بهینه‌سازی تک هدفه برای هر هدف را حل می‌کنیم. سپس طول گام را تعیین می‌کنیم. سپس مجموعه نقاط مناسب را تولید می‌کنیم و درنهایت بهینه‌سازی تک هدفه را حل کرده و مرز پارتی را تخمین می‌زنیم. در این روش همواره به بهینه‌سازی یکی از اهداف می‌پردازیم به شرطی که بالاترین حد قابل قبول را برای سایر اهداف در قالب محدودیت‌ها تعریف کنیم. برای یک مسئله دو هدفه نمایش ریاضی طبق معادله ۵۰ را خواهیم داشت:

$$\min f_1(x) \quad (50)$$

$$\begin{aligned} & s.t \\ & f_2(x) \leq \varepsilon_2 \\ & f_3(x) \leq \varepsilon_3 \end{aligned}$$

$$x \in S$$

با تغییر مقادیر سمت راست محدودیت‌های جدید اپسیلون‌ها، لبه پارتی مسئله به دست خواهد آمد.

### ۲-۴-۳ روش حل فرا ابتکاری NSGA-II

در این مقاله برای حل مدل از الگوریتم فرا ابتکاری NSGA-II استفاده شده است. از جمله نقاط مثبت این الگوریتم این است که برخلاف برخی الگوریتم‌های دیگر که فضای جواب مسئله را فقط در یک جهت جستجو می‌کنند، به طور هم‌زمان در چندین جهت به جستجوی جواب می‌پردازد. عدم نیاز الگوریتم ژنتیک به پیوستگی و تحدب تابع هدف را نیز می‌توان از دیگر ویژگی‌های مثبت این الگوریتم قلمداد نمود [۲۶]. عملکرد الگوریتم NSGA-II مطابق با شبه کد زیر است.

#### //Start:

**Step ۱:** Generate an initial population

**Begin loop** /\* Loop until a termination condition is met \*/

**Step ۲:** Evaluate the fitness of a subset of individuals from the population

**Step ۳:** Select pairs of the fittest individuals for reproduction

**Step ۴:** Create offspring using a crossover operator

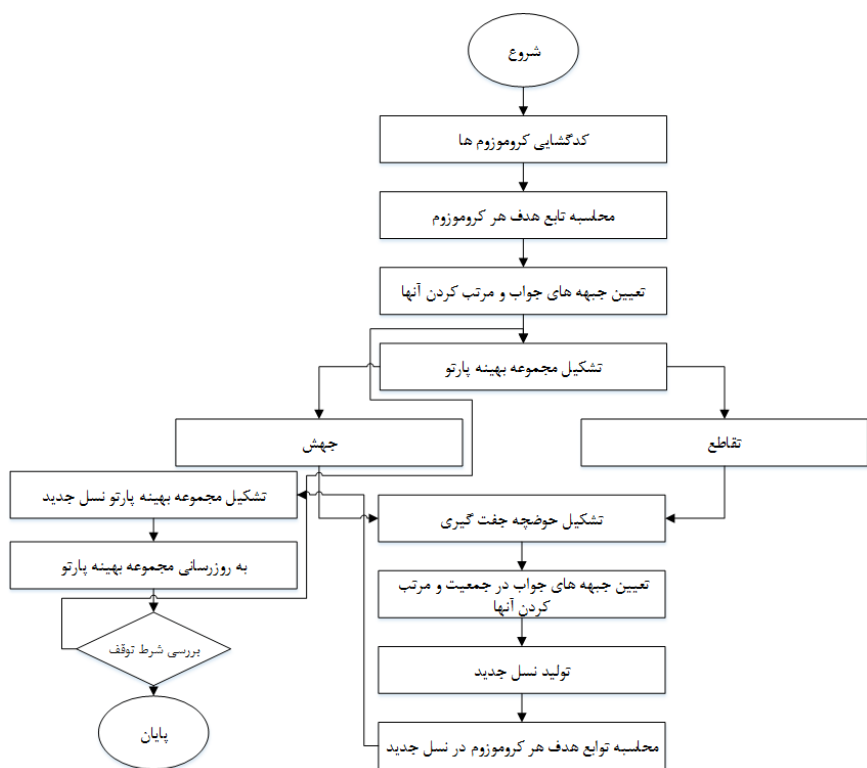
**Step ۵:** Introduce genetic variation in the offspring using a mutation operator

**Step ۶:** Replace some of the least fit individuals in the current population with the new offspring

**End loop**

**Finish//.**

همچنین، فلوچارت اجرای آن در شکل ۲ نشان داده شده است.

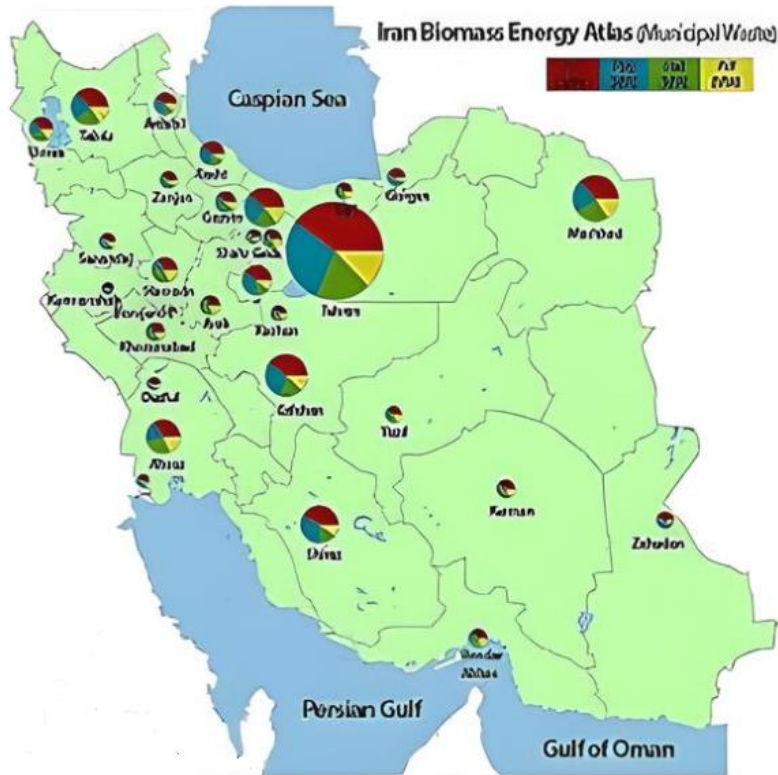


شکل ۲. فلوچارت اجرایی الگوریتم NSGA-II

## ۴ حل مساله و تحلیل نتایج

### ۴-۱ مطالعه موردي

سازمان بهره‌وری انرژی‌های تجدیدپذیر و بهره‌وری برق با هدف ارتقای بهره‌وری انرژی و استفاده بیشتر از منابع تجدیدپذیر و پاک با فراهم آوردن زیرساخت‌های لازم در کشور ایران تاسیس شده است. همچنین، افزایش بهره‌وری، تامین انرژی، کاهش اتلاف انرژی در انتقال، توزیع و مصرف در کشور و استفاده از روش‌های تولید برق تجدیدپذیر و پاک را هدف قرار داده است. بنابراین، توسعه تولید انرژی زیستی از منابع زیست‌توده یک نیاز حیاتی برای شناخت راه‌های دسترسی به منابع مختلف در مناطق ابیاض ایران و همچنین، شناسایی فناوری‌های مختلف و الزامات فنی و اجرایی است. براین اساس، یک مطالعه موردي در سازمان انرژی‌های تجدیدپذیر و بهره‌وری انرژی ایران انجام شده است. در شکل ۳، نقشه استان‌های بالقوه ایران از نظر تنوع منابع و فناوری در زمینه زیست‌توده نشان داده شده است. نتایج حل مدل براساس داده‌های ورودی به شرح جدول ۲ در نظر گرفته شده است.



شکل ۳. پراکندگی منابع زیست توده در ایران

بنابراین، مدل توسعه داده شده توسط یک مثال واقعی برای بررسی مدل از لحاظ شدنی بودن و تحلیل نتایج مربوط به متغیرهای اصلی از طریق پارامترهای در نظر گرفته شده، مورد بررسی قرار می گیرد. مدل یاد شده به شکل قطعی در نرم افزار GAMS با ملحوظ دانستن مقادیر از پیش تعیین شده موجود در جدول ۲ به اجرا درآمده است.

جدول ۲. مقادیر پارامترها در مطالعه موردي

نام اندیس	نماد	مقدار
اندیس مکان های کاندید برای مراکز کاشت جاتروفا	$j$	۱
اندیس مکان های کاندید برای مراکز کاشت نوروزک	$n$	۱
اندیس مکان های کاندید برای مراکز کاشت خرزهره	$o$	۱
اندیس مکان های کاندید برای مراکز کاشت جلبک	$m$	۲و۱
اندیس مکان های کاندید برای مراکز تامین ضایعات روغن	$w$	۲و۱
اندیس مکان های کاندید برای مراکز جمع آوری و استخراج روغن جاتروفا، خرزهره، نوروزک و جلبک	$i$	۱
اندیس مکان های کاندید برای مراکز جمع آوری و پیش تصفیه ضایعات روغن	$p$	۱
اندیس مکان های کاندید برای مراکز پالایشگاه زیستی	$k$	۱
اندیس پالایشگاه های دیزل	$b$	۲و۱
اندیس دوره زمانی	$t$	۲و۱

#### ۴-۲ حل مساله در ابعاد کوچک و متوسط

با ملاحظه داشتن اطلاعات فوق، مدل پیشنهادشده در نرم‌افزار GAMS حل شده است. در جدول ۳، نتایج مربوط به مقادیر  $P_{kt}^{11}$ ،  $P_{kt}^{12}$ ،  $I_{kt}^6$  که به ترتیب برابر با مقدار تولید گلیسیرین در پالایشگاه زیستی  $k$  در دوره  $t$ ؛ مقدار تولید بیو دیزل در پالایشگاه زیستی  $k$  در دوره  $t$  و مقدار موجودی بیو دیزل در پالایشگاه زیستی  $k$  در دوره  $t$  نشان داده شده است.

جدول ۳. مقدار متغیرهای  $I_{kt}^6$ ،  $P_{kt}^{11}$ ،  $P_{kt}^{12}$

متغیر	مکان $k = 1$	دوره زمانی	
		اول	دوم
$P_{kt}^{12}$	پالایشگاه زیستی اول	۱۰۹۶۰	۱۳۴۱۰
$P_{kt}^{11}$	پالایشگاه زیستی اول	۶۱۷۷۷/۴۷۷	۷۵۵۹۳/۳۲۴
$I_{kt}^6$	پالایشگاه زیستی اول	۵۲۸۳۷/۴۷۷	۱۱۷۵۱۰/۸۰۱

با توجه به نتایج حاصل شده، مشخص می‌شود که مقدار تولید بیو دیزل از مقدار تولید گلیسیرین همواره در هر دو دوره زمانی بیشتر است. این در حالی است که همواره در طی هر دو دوره سهم قابل توجهی به عنوان موجودی برای دوره‌های بعدی باقی می‌ماند. برای مثال، در دوره اول مقدار ۶۱۷۷۷/۴۷۷ تن بیو دیزل در پالایشگاه زیستی تولید می‌شود. از این مقدار ۸۹۴۰ تن مصرف می‌شود و مقدار ۵۲۸۳۷/۴۷۷ تن به عنوان موجودی پایان دوره برای مصرف در دوره دوم باقی می‌ماند. بنابراین، در دوره دوم با تولید ۲۲۷۵۵ تن بیو دیزل که با جمع باقیمانده از دوره اول که برابر با ۵۲۸۳۷/۴۷۷ تن است مقدار ۷۵۵۹۳/۳۲۴ تن بیو دیزل تولید می‌گردد. در جدول ۴، مقدار  $T_{kbt}^A$  حمل و نقل بیو دیزل از مرکز پالایشگاه زیستی  $k$  به مرکز مصرف  $b$  در دوره  $t$  نشان داده شده است.

جدول ۴. مقدار متغیرهای  $T_{kbt}^A$

از	به	دوره اول		دوره دوم	
		مرکز مصرف ۱	مرکز مصرف ۲	مرکز مصرف ۱	مرکز مصرف ۲
مرکز پالایشگاه زیستی		۴۳۶۰	۴۵۸۰	۵۳۲۰	۵۶۰۰

بر اساس نتایج به دست آمده در جدول ۴ مشخص می‌شود که تواتر جابجایی بین مرکز پالایشگاه زیستی و مرکز مصرف در دوره دوم برنامه ریزی نسبت به دوره اول همواره بیشتر است. بیشترین میزان حمل و نقل مربوط به جابجایی بین پالایشگاه و مرکز مصرف دوم در دوره دوم برنامه ریزی است و کمترین میزان جابجایی مربوط به جابجایی بین پالایشگاه و مرکز مصرف اول در دوره اول است. در جدول ۵،  $V_{mt}^A$  مقدار جلبک کاشت شده در ناحیه مکان  $m$  در دوره  $t$ ؛  $P_{mt}^A$  مقدار جلبک تولید شده در مرکز کاشت  $m$  در دوره  $t$ ؛ مقدار  $CO_{2mt}$  مصرف شده در مرکز کاشت جلبک در مکان  $m$  در دوره  $t$  نشان داده شده است.

جدول ۵. مقدار تولید  $CO_{mt}^{\epsilon}, P_{mt}^{\epsilon}, V_{mt}^{\epsilon}$ 

متغیر	مرکز کاشت	دوره زمانی	
		اول	دوم
$V_{mt}^{\epsilon}$	$k = 1$	۵۰۰۰	۰
	$k = 2$	۵۰۰۰	۰
$P_{mt}^{\epsilon}$	$k = 1$	۱۵۶۷/۵۶۸	۶۳۰
	$k = 2$	۰	۹۰۰
$CO_{mt}$	$k = 1$	۳۱۳۵/۱۳۵	۱۲۶۰
	$k = 2$	۰	۱۸۰۰

بر اساس جدول ۵، مقدار کاشت جلبک در هر دو مرکز کاشت فقط در دوره اول کاشت انجام می‌شود و میزان کاشت جلبک در هر دو مرکز کاشت در دوره دوم برابر با صفر است. همچنین، بیشترین جلبک تولید شده مربوط به مرکز کاشت اول است که در دوره اول برنامه‌ریزی اتفاق می‌افتد. نظر به همین مساله که در دوره اول بیشترین تولید در مرکز کاشت اول تولید شده است، در دوره دوم کمترین میزان تولید جلبک را این مرکز به همراه دارد. علاوه بر این، بر اساس میزان تولیداتی که در مرکز کاشت اول حاصل می‌شود، طبیعی است که میزان مصرف گاز دی‌اکسید کربن نیز بیشتر باشد از همین روی، در مرکز کاشت اول بیشترین مصرف گاز کربن دی‌اکسید در دوره اول مصرف می‌شود و در مرحله دوم در همین مرکز کمترین میزان مصرف را دارد. در جدول ۶، مقدار تولید جاتروفافا تولید شده در مرکز کاشت جاتروفافا در مکان  $j$  در دوره زمانی  $t$  یعنی  $T_{j|t}^1$  و همچنین، مقدار حمل و نقل جاتروفافا از مرکز کاشت  $j$  به مرکز استخراج روغن  $i$  در دوره زمانی  $t$  یعنی  $T_{i|t}^1$  در جدول ۷ نشان داده شده است.

جدول ۶. مقدار تولید جاتروفافا در دو دوره زمانی

مرکز کاشت جاتروفافا	دوره زمانی اول	دوره زمانی دوم
$j = 1$	۰	۴۱۱/۱۴۳

جدول ۷. مقدار حمل و نقل جاتروفافا در هر دوره زمانی

مرکز استخراج روغن		
$i = 1$		
از	به	دوره اول
$j = 1$ مرکز کاشت اول		۴۱۱/۱۴۳

با توجه به جدول ۶ که مقدار تولید جاتروفافا در دو دوره زمانی نشان داده شده است، طبق مقدار محاسبه شده در دوره اول هیچ مقداری برای تولید جاتروفافا در نظر گرفته نمی‌شود. و فقط در دوره دوم مقدار ۴۱۱/۱۴۳ تن جاتروفافا تولید می‌شود. بنابراین، با توجه به میزان تولید جاتروفافا در دوره دوم، به میزان تولید آن حمل و نقل صورت می‌گیرد. در جدول ۸، مقدار حمل و نقل جلبک از مرکز کاشت  $m$ ، به مرکز استخراج روغن  $i$  در دوره زمانی

یعنی  $T_{mit}^4$  نشان داده شده است. مقدار حمل و نقل جلبک بر اساس مقدار تولید جلبک در مرکز کاشت  $m$  در دوره زمانی  $t$  یعنی  $P_{mt}^4$  برآورد می‌شود.

**جدول ۸.** مقدار حمل و نقل جلبک در دوره زمانی  $t$

از	به	مرکز استخراج روغن	
		$i = 1$	$i = 2$
		دوره اول	دوره دوم
	مرکز کاشت اول	۱۵۶۷/۵۶۸	۶۳۰
	مرکز کاشت دوم	۰	۹۰۰

جدول ۸ میزان حمل و نقل جلبک تولید شده از مراکز کاشت در دوره زمانی  $t$  را نشان می‌دهد. بر طبق نتایج بدست آمده، متناسب با میزان تولید جلبک، میزان حمل و نقل نیز افزایش می‌یابد. جدول ۹ نیز مقادیر بدست آمده برای متغیرها حاصل از حل مساله در دوره  $t$  را نشان می‌دهد. در این جدول،  $P_{it}^6$  مقدار روغن جاتروفای تولید شده در مرکز استخراج روغن  $i$  در دوره  $t$ ؛  $P_{it}^9$  مقدار روغن جلبک تولید شده در مرکز استخراج روغن  $i$  در دوره  $t$ ؛  $P_{it}^{10}$  مقدار ضایعات روغن پیش‌تصفیه شده در مرکز استخراج روغن  $i$  در دوره  $t$ ؛  $P_{it}^{13}$  مقدار مواد اولیه دارو در مرکز استخراج روغن  $i$  در دوره  $t$ ؛  $P_{it}^{14}$  تولید کود در مرکز استخراج روغن  $i$  در دوره  $t$  محاسبه شده است.

با توجه به اینکه حمل و نقل  $WCO$  تولید شده دارای دو مرحله است، در جدول ۱۰، مقدار حمل و نقل ضایعات روغن از مرکز تامین  $W$  به مرکز پیش‌تصفیه در دوره  $t$  نشان داده شده است. در جدول ۱۱ نیز مقدار حمل و نقل ضایعات روغن تولید شده از مرکز پیش‌تصفیه به پالایشگاه زیستی در دوره‌های زمانی نشان داده شده است. در توضیح جدول ۱۱ لازم به ذکر است که همان میزان ضایعات روغن تولید شده در طی دوره‌های زمانی به طور مستقیم به پالایشگاه زیستی منتقل می‌شود.

**جدول ۹.** مقدار متغیرهای  $P_{it}^6, P_{it}^9, P_{it}^{10}, P_{it}^{13}, P_{it}^{14}$

متغیر	مکان $i = 1$	دوره زمانی	
		اول	دوم
$P_{it}^6$	مرکز استخراج روغن	۰	۲۲۶/۱۲۹
$P_{it}^9$	مرکز استخراج روغن	۹۸۷/۵۶۸	۹۶۳/۹۰۰
$P_{it}^{10}$	مرکز استخراج روغن	۷۱۷۴۹/۹۱۰	۸۷۸۱۳/۲۹۵
$P_{it}^{13}$	مرکز استخراج روغن	۵۸۰	۷۱۰
$P_{it}^{14}$	مرکز استخراج روغن	۰	۴۱/۱۱۴

جدول ۱۰. مقدار حمل و نقل ضایعات روغن از مرکز تامین  $W$  به مرکز پیش تصفیه در دوره  $t$ 

از	به	مرکز پیش تصفیه	
		$p = 1$	$p = 1$
		دوره اول	دوره دوم
مرکز تامین اول	$W = 1$	۳۳۳۹۰۰	۳۱۱۶۰۰
مرکز تامین دوم	$W = 2$	۲۴۸۴۹/۵۵۰	۱۲۷۴۶۶/۴۷۶

جدول ۱۱. مقدار حمل و نقل ضایعات روغن از مرکز پیش تصفیه  $p$  به پالایشگاه زیستی  $k$  در دوره  $t$ 

از	به	پالایشگاه زیستی	
		$i = 1$	$i = 1$
		دوره اول	دوره دوم
مرکز پیش تصفیه اول	$p = 1$	۷۱۷۴۹/۹۱۰	۸۷۸۱۳/۲۹۵

علاوه بر این، در جدول ۱۲، مقدار حمل و نقل روغن جاتروفاف، نوروزک، خرزهه و جلبک از مرکز استخراج روغن  $i$  به پالایشگاه زیستی  $k$  در دوره  $t$  یعنی  $T_{ikt}$  نشان داده شده است. بر اساس نتایج به دست آمده نشان می‌دهد که مقدار حمل و نقل روغن جاتروفاف، نوروزک، خرزهه و جلبک از مرکز استخراج روغن به پالایشگاه در دوره دوم بیشترین مقدار را دارد.

جدول ۱۲. مقدار  $T_{ikt}$ 

از	به	پالایشگاه زیستی	
		$i = 1$	$i = 1$
		دوره اول	دوره دوم
مرکز استخراج روغن	$i = 1$	۹۸۷/۵۶۸	۱۱۹۰/۰۲۹

سرانجام، مقدار کل ظرفیت مرکز جمع‌آوری و استخراج روغن  $i$  در طی دوره‌های زمانی اول و دوم برابر با  $5000$  در هر دوره برآورد می‌شود. با ملحظ دانستن کلیه عوامل فوق مقدار تابع هدف و هزینه بهینه برابر با  $10^{14} \times 113521$  طی مدت زمان  $35$  ثانیه هست. علاوه بر حصول نتایج مساله از حل در ابعاد کوچک، مقدار بعد مساله را بیشتر در نظر می‌گیریم. برای این منظور، پارامترهای ورودی حل مساله را مطابق با جدول ۱۳ در نظر می‌گیریم.

جدول ۱۳. پارامترهای مساله در ابعاد متوسط

زمان محاسبات (ثانیه)	مقدار تابع هدف $\times 10^4$	مقدار ورودی ها										نمونه
		$t$	$b$	$k$	$P$	$i$	$w$	$m$	$o$	$n$	$j$	
۱۲۸	۲۱۳۲۵۶	۳	۳	۲	۲	۲	۳	۳	۲	۲	۲	۱
۳۵۹	۳۲۴۶۸۹	۳	۳	۲	۲	۳	۴	۴	۳	۲	۲	۲
۵۵۶	۳۸۹۶۵۷	۳	۴	۳	۳	۴	۴	۴	۳	۲	۲	۳
۶۰۲	۴۱۲۵۶۹	۳	۳	۴	۴	۳	۳	۳	۲	۳	۳	۴
۶۱۳	۴۲۰۵۹۸	۳	۳	۳	۳	۵	۴	۴	۳	۳	۳	۵

با توجه به نتایج ارایه شده در جدول ۱۳، مشخص است که در صورت افزایش ابعاد مساله از کوچک به متوسط مدت زمان پاسخگویی مدل به طور چشم‌گیری افزایش پیدا می‌کند. این مساله نشان می‌دهد که مدل با افزایش ابعاد با پیچیدگی روبرو می‌شود که حتی ممکن است در ابعاد بزرگتر قادر به حل مساله نباشد.

#### ۴-۳ حل مساله در ابعاد بزرگ با استفاده از روش فرابتکاری

برای حل مدل با استفاده از روش فرابتکاری ابتدا لازم است پارامترهای تحقیق تعیین شوند. به منظور تعیین پارامترهای الگوریتم از طراحی آزمایشات استفاده می‌شود. برای این منظور، ابتدا برای پارامترهای آن ۳ سطح مختلف (کم با کد ۱، متوسط با کد ۲ و زیاد با کد ۳) تعریف می‌شود. سپس آزمایش‌های از پیش تعریف شده در این الگوریتم به ازای تمام ترکیبات ممکن اجرا می‌شود. مقادیر پیشنهادی برای پارامترهای این الگوریتم مطابق جدول ۱۴ می‌باشد.

جدول ۱۴. پارامترها و سطوح آنها برای الگوریتم NSGA-II

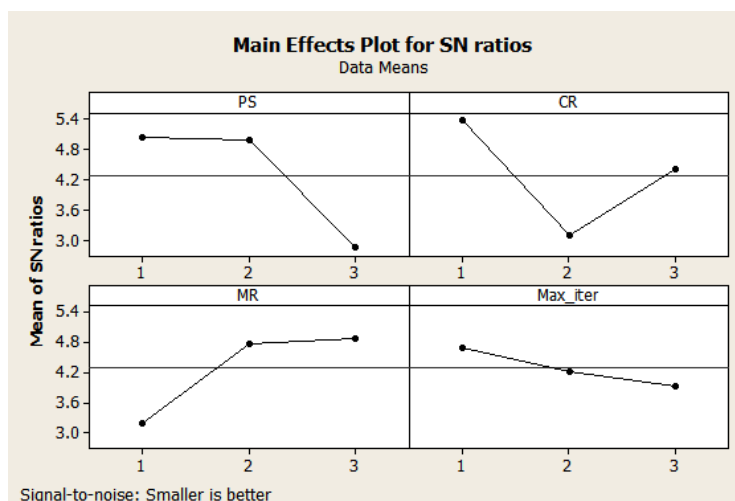
مقادیر هر سطح			پارامتر
سطح ۳	سطح ۲	سطح ۱	
۲۰۰	۱۰۰	۵۰	Population size (PS)
۰/۹	۰/۷	۰/۵	Crossover rate (CR)
۰/۵	۰/۳	۰/۲	Mutation rate (MR)
۲۰۰	۱۵۰	۱۰۰	Maximum iterations (Max_iter)

سپس با طرح L9 تاگوچی آزمایشات مختلف را ایجاد و برای هر کدام الگوریتم NSGA-II اجرا شده است. نتایج اجرا در جدول ۱۵ ارایه شده است. در این جدول کلیه حالات ممکن به ازای سطوح مختلفی که برای فاکتورهای الگوریتم NSGA-II مد نظر هستند، نشان داده شده است. برای مثال در آزمایش اول، کلیه فاکتورهای به ازای کمترین سطح خود در آزمایش شرکت دارند. در آزمایش دوم، فاکتور PS با مقدار کمترین سطح و سایر فاکتورها با مقدار سطح متوسط مربوط به خود حضور دارند. به همین ترتیب سایر حالت ممکن براساس قاعده جایگشت در آمار تکمیل می‌شود. با اجرای هر آزمایش و محاسبه مقدار شاخص MID سطح پاسخ مورد نظر با استفاده از این شاخص برآورد می‌شود.

جدول ۱۵. مقادیر متغیر پاسخ در تکنیک تاگوچی برای NSGA-II

شناخت MID	پارامترهای الگوریتم				شماره اجرا
	Max_iter	MR	CR	PS	
۰/۵۳۴	۱	۱	۱	۱	۱
۰/۶۱۲	۲	۲	۲	۱	۲
۰/۵۳۷	۳	۳	۳	۱	۳
۰/۴۹۱	۳	۲	۱	۲	۴
۰/۵۷۶	۱	۳	۲	۲	۵
۰/۶۳۷	۲	۱	۳	۲	۶
۰/۵۹۹	۲	۳	۱	۳	۷
۰/۹۷۳	۳	۱	۲	۳	۸
۰/۶۴۲	۱	۲	۳	۳	۹

حال با ارایه این خروجی‌ها به نرم افزار MINITAB نمودار S/N به صورت شکل ۴ ارایه می‌شود. براساس مقدار محاسبه شده نسبت سیگنال به نویز به ازای کلیه سطوح در نظر گرفته شده برای هر یک از فاکتورها، هر چه این مقدار برای سطح مورد نظر کمتر باشد، مقدار آن سطح برای آن فاکتور انتخاب می‌شود. همان‌طور که در این شکل مشخص است، کمترین مقدار نسبت سیگنال به نویز برای فاکتور PS در زمانی اتفاق می‌افتد که این شاخص در سطح زیاد خود با کد ۳ قرار دارد. بنابراین، مقداری که برای این پارامتر در الگوریتم NSGA-II در نظر می‌گیریم برابر با ۲۰۰ خواهد بود. همچنین، کمترین مقدار نسبت سیگنال به نویز برای شاخص CR مربوط به سطح متوسط با کد ۲ این فاکتور است. بنابراین، فاکتور CR با مقدار ۰/۷ در الگوریتم حضور خواهد داشت. علاوه بر این، کمترین مقدار برای فاکتور MR مربوط به زمانی است که این فاکتور در سطح پایین خود با کد ۱ قرار دارد. بنابراین، این فاکتور در الگوریتم با مقدار ۰/۲ حضور خواهد داشت. سرانجام، فاکتور Max\_iter در شرایطی کمترین مقدار نسبت به نویز را دارد که در سطح زیاد خود با کد ۳ قرار داشته باشد. بنابراین، این فاکتور در الگوریتم با مقدار ۲۰۰ حضور خواهد داشت.



شکل ۴. خروجی مینی تب برای روش تاگوچی در الگوریتم NSGA-II

حال بر اساس خروجی ارایه شده در نمودار فوق بهترین مقدار هر پارامتر در جدول ۱۶ مشخص شده است و سایر مثال‌ها با این مقادیر پارامتر‌های الگوریتم، اجرا می‌شود. در جدول ۱۶ مقدار بهینه پارامتر‌ها ارایه شده است.

**جدول ۱۶.** مقدار بهینه متغیرها در NSGA-II

مقدار بهینه	پارامتر
۲۰۰	Population size (PS)
۰/۷	Crossover rate (CR)
۰/۲	Mutation rate (MR)
۲۰۰	Maximum iterations (Max_iter)

#### ۴- مقایسه نتایج قطعی و فراتکاری

در این بخش به منظور مقایسه حل قطعی با حل از طریق الگوریتم فراتکاری آزمایش‌هایی در ابعاد کوچک، متوسط و بزرگ مطابق با جدول ۱۷ انجام می‌شود. در این جدول ابعاد نمونه‌های عددی نشان داده شده است. همان‌طور که مشخص است ۱۰ نمونه عددی موجود می‌باشد. نمونه‌های ۱ تا ۴ برای ابعاد کوچک و نمونه‌های ۵ تا ۸ مربوط به نمونه‌های متوسط و نمونه‌های ۹ تا ۱۰ مربوط به نمونه‌های بزرگ می‌باشد. طبیعی است هر چه ابعاد مساله بیشتر شود تعداد گره‌های مساله نیز بیشتر می‌شود. این آزمایش‌ها براساس مفروضات اولیه مدل براساس مراکز کشت جاتروفه، مراکز کشت نوروزک، مراکز کاشت خرزهره، مراکز کشت جلک، مراکز پالایشگاه‌های زیستی و دوره‌های زمانی می‌باشد.

**جدول ۱۷.** ابعاد نمونه‌های عددی

دورة زمانی	مراکز پالایشگاه زیستی	مراکز کشت جلک	مراکز کشت خرزهره	مراکز کشت نوروزک	مراکز کشت جاتروفه	نمونه‌ها	ابعاد
۱	۱	۱	۱	۱	۱	۱	کوچک
۱	۲	۱	۲	۲	۲	۲	
۱	۲	۱	۳	۲	۲	۳	
۱	۳	۱	۳	۳	۲	۴	
۲	۳	۲	۳	۳	۳	۵	متوسط
۲	۳	۲	۴	۳	۳	۶	
۲	۳	۲	۴	۴	۴	۷	
۲	۴	۲	۳	۴	۴	۸	
۳	۴	۳	۴	۵	۵	۹	بزرگ
۳	۵	۴	۵	۶	۶	۱۰	

جدول ۱۸. نتایج مقایسه‌ای حل در ابعاد کوچک و متوسط

خطا			زمان حل	NSGA-II			زمان حل	GAMS			ردیف
$ARE_3$	$ARE_2$	$ARE_1$		$f_3$	$f_2$	$f_1$		$f_3$	$f_2$	$f_1$	
.	.	.	۵	۱	۲۸۹/۴	۵۰۹	۱۰	۱	۲۸۹/۴	۵۰۹	۱
۰/۰۵	۰	۰/۰۰۱	۷	۳۵	۳۰۰/۲	۵۴۲	۱۲	۳۷	۳۰۰/۲	۵۴۱	۲
۰/۰۶	۰/۰۰۳	۰/۰۰۱	۱۲	۴۶	۳۰۳/۳	۶۵۰	۱۵	۴۹	۳۰۲/۱	۶۴۹	۳
۰/۰۵	۰/۰۰۴	۰/۰۰۲	۱۵	۹۴	۳۲۱/۹	۶۹۳	۱۷	۹۹	۳۲۰/۳	۶۹۱	۴
۰/۰۲	۰/۰۰۴	۰/۰۰۲	۱۸	۹۹۸	۶۳۱/۶	۱۴۵۷	۲۰	۱۰۲۱	۶۲۹	۱۴۵۴	۵
۰/۰۱	۰/۰۰۳	۰/۰۰۲	۲۲	۱۳۹۸	۷۴۰/۴	۱۵۷۲	۲۵	۱۴۱۳	۷۳۷/۵	۱۵۶۸	۶
۰/۰۰۹	۰/۰۰۲	۰/۰۰۲۰	۳۳	۲۹۰۵	۸۰۶/۳	۱۶۰۴	۳۵	۲۹۳۴	۸۰۴/۶	۱۶۰۰	۷
۰/۰۰۱	۰/۰۰۴	۰/۰۰۱	۴۵	۷۳۷۰	۹۸۷/۶	۱۹۱۱	۵۰	۷۳۷۱	۹۸۳/۳	۱۹۰۹	۸
-	-	-	۵۰	۷۶	۱۰۰۰/۶۵	۲۵۰۲	-	-	-	-	۹
-	-	-	۵۵	۸۲	۱۱۲۵/۵	۳۵۴۶	-	-	-	-	۱۰
۰/۰۱۸	۰/۰۰۲	۰/۰۰۱	میانگین خطاهای در هر تابع هدف								

جدول ۱۸ نتایج حل مدل را در سایزهای کوچک، متوسط و بزرگ نشان می‌دهد. چهار نمونه اول مربوط به میانگین جواب‌های مدل در حالت کوچک و چهار نمونه بعدی مربوط به میانگین جواب‌های مدل در سایز متوسط و دو نمونه آخر نیز مربوط به ابعاد بزرگ مساله می‌باشد. دو نمونه آخر از این جهت در ابعاد بزرگ قرار می‌گیرند، زیرا مدل ریاضی قادر به حل و ارایه پاسخ برای مقدار تابع هدف نمی‌باشد. در این جدول نتایج حل دقیق با نتایج روش NSGA-II مقایسه شده است. در ستون خطای مطلق نسبی از طریق رابطه زیر محاسبه شده است.

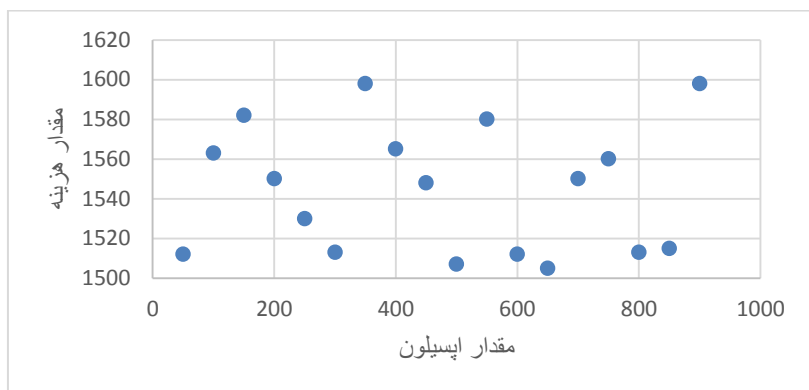
### *mathematical model – metaheuristic model*

#### *mathematical model*

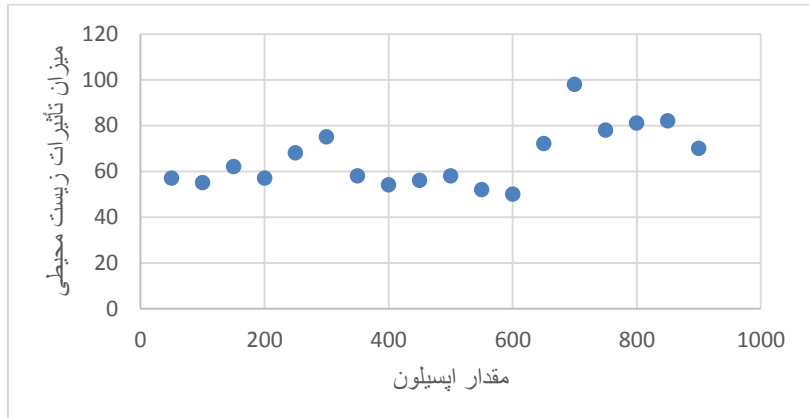
این خطای محاسباتی توسط جهانگیری و همکاران [۲۵] توصیه شده است. براساس آن می‌توانیم مقدار خطای بین دو سری نتایج را محاسبه نماییم. در صورتی که مقدار خطای محاسباتی بین دو سری داده کمتر از ۰/۰۵ باشد خطای بین دو سری داده قابل اعتماد خواهد بود. بنابراین، در این صورت می‌توانیم به نتایج مدل فرالبتکاری در حل مسایل با ابعاد بزرگ اعتماد نماییم. با توجه به اختلاف کم در خطای روش‌های مدل‌سازی ضمن تایید صحت مدل ریاضی توسعه داده شده، صحت عملکرد و کارایی الگوریتم NSGA-II اثبات می‌شود و می‌توان برای حل مسایل در ابعاد بزرگ نیز به NSGA-II اعتماد کرد. نتایج حل بیانگر آن است که با بزرگتر شدن ابعاد مساله پیچیدگی حل آن در هر دو روش محاسباتی افزایش می‌یابد. زیرا، زمان حل از مساله‌ای به مساله دیگر تغییر یافته و افزایش پیدا می‌کند. البته مدت زمان حل توسط الگوریتم فرالبتکاری NSGA-II نسبت به روش قطعی به مرتب کمتر است بنابراین با توجه به نتایج جدول ۱۴ می‌توان برای حل مسایل در ابعاد بزرگ به الگوریتم NSGA-II اعتماد کرد و عملکرد مناسبی را پیش‌بینی کرد.

#### ۴-۵ تحلیل حساسیت

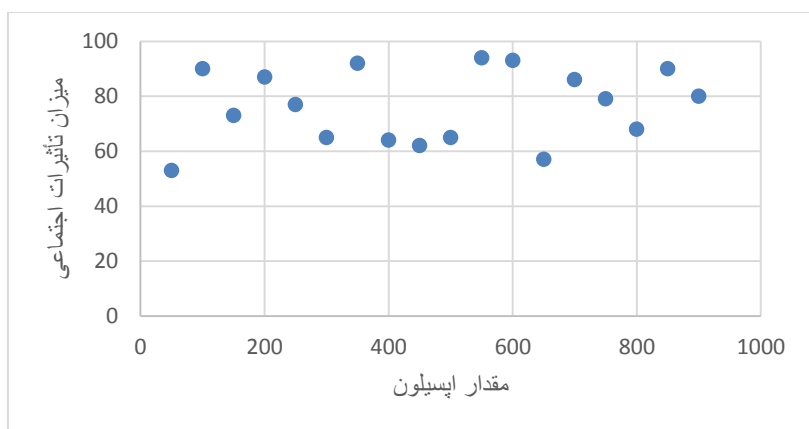
در این بخش حساسیت مقادیر اپسیلون بر روی مقدار توابع هدف سنجیده خواهد شد و نتایج حاصل شامل مقادیر قابل اطمینان با تعیین فاصله اپسیلون برای توابع هدف گزارش می‌شود. برای این منظور، در شکل‌های ۵، ۶ و ۷ مقادیر مختلفی برای اپسیلون تعریف شده و توابع هدف با آنها حل شده است. همان‌طور که در شکل‌ها نشان داده شده است، مقادیر تابع هدف با افزایش اپسیلون تا مقدار مشخصی، تغییر قابل توجهی از خود نشان نمی‌دهند. اما از جایی به بعد (برای مثال تابع هدف دوم) افزایش در مقدار اپسیلون، افزایش و با شیب قابل ملاحظه‌ای در مقادیر توابع هدف را گزارش می‌کند (تغییر اپسیلون از ۶۰۰ تا ۹۰۰). بر اساس نتایج به دست آمده، به ازای آزمایش مقادیر مختلف اپسیلون، ناحیه شدنی و بردار بهبود‌دهنده توابع هدف نشان ایجاد شده است. برطبق نتایج به دست آمده سطح تغییرات معنی دار اپسیلون بین ۵۰ تا ۹۰۰ به عنوان بردار بهبود دهنده تعیین شده است. تعیین این بازه مشخص می‌کند که اگر چنانچه مقدار اپسیلون کمتر از ۵۰ و بیشتر از ۹۰۰ در نظر گرفته شود پاسخ مساله خارج از ناحیه شدنی قرار می‌گیرد. بنابراین، دامنه تغییرات اپسیلون برای جستجوی جواب بهینه محلی برای تابع هدف اول ۶۵۰ قرار دارد زیرا در روی این نقطه جواب بهینه برای تابع هدف اول رخ می‌دهد. وضعیت بهینه برای تابع هدف دوم در اپسیلون ۶۰۰ به دست می‌آید. در شکل‌های ۵ تا ۷ نتایج حل مدل با طول گام برابر با ۵۰ نشان داده شده است.



شکل ۵. میزان تغییرات تابع هدف به ازای تغییر در مقدار اپسیلون



شکل ۶. میزان تغییرات تاثیرات زیست محیطی به ازای تغییرات اپسیلون



شکل ۷. میزان تغییرات تاثیرات اجتماعی به ازای تغییرات اپسیلون

علاوه بر این، با در نظر گرفتن پارامتر تاثیرگذار بر روی مقدار تابع هدف میزان اثر تغییرات آن پارامتر را بر روی تابع هدف بررسی می‌کنیم. برای این منظور، پارامتر حداکثر ظرفیت مراکز جمع‌آوری و استخراج روغن را در نظر می‌گیریم. بدیهی است در صورت اعمال تغییر روی ظرفیت این مراکز، بر روی میزان هزینه‌های مربوط به آنها تاثیر می‌گذارد. در این بخش می‌خواهیم حالتی را بررسی کنیم که ظرفیت هر یک از مراکز ۱۰۰ واحد زیاد و کم گردد. در این صورت تأثیر این تغییرات را بر روی مقدار تابع هدف بررسی می‌کنیم. در جدول ۱۹، ظرفیت میادین در صورت اضافه کردن ۱۰۰ واحد و همچنین، در صورت کم کردن ۱۰۰ واحد نشان داده شده است.

جدول ۱۹. ظرفیت میادین با اضافه کردن ۱۰۰ واحد

$\text{Cap}_{\text{current}} + 100$	
مقدار تابع هدف	$12452 \times 10^{14}$
$\text{Cap}_{\text{current}} - 100$	
مقدار تابع هدف	$12452 \times 10^{14}$

## ۵ جمع‌بندی و نتیجه‌گیری

با توجه به تحقیقات انجام شده در زمینه طراحی شبکه زنجیره تامین زیست‌توده پایدار، مدل ریاضی ارایه شده در این تحقیق با استفاده از چند سطحی و چندمحصولی بودن شبکه، می‌تواند به عنوان یک ابزار قابل استفاده برای بهبود کارایی شبکه زنجیره تامین بهمنظور افزایش پایداری زیست‌توده، مورداستفاده قرار گیرد. با توجه به ویژگی‌های زیست‌توده، از جمله حساسیت آن به شرایط محیطی و اجتماعی، طراحی شبکه زنجیره تامین زیست‌توده پایدار از اهمیت بالایی برخوردار است. در این راستا، استفاده از مدل ریاضی چند سطحی و چندمحصولی، که به دقت و به صورت یکپارچه تمامی عوامل مؤثر در زنجیره تامین را بررسی می‌کند، می‌تواند بهبود کارایی و افزایش پایداری شبکه را به همراه داشته باشد. به علاوه، استفاده از این مدل، در بهبود هزینه‌ها و کاهش آثار منفی بر محیط زیست نیز موثر خواهد بود. در این تحقیق یک مدل برنامه‌ریزی ریاضی چنددهده مختلط عدد صحیح برای به کارگیری در یک زنجیره تامین زیست‌توده چند سطحی و چندمحصولی ارایه شده است. کارایی مدل پیشنهادی برای استفاده طولانی مدت در ابعاد بزرگ با استفاده از الگوریتم فرالبتکاری موردن

مقایسه قرار گرفته است. با استفاده از این مدل می‌توانیم مقادیر بهینه برای اجزای اصلی زنجیره را تعیین نماییم. مهم‌ترین مقادیری که با استفاده از این مدل می‌توانیم محاسبه نماییم عبارت است از: مقدار بهینه تولید گلیسرین، بیو دیزل، جاتروفافا، جلبک و مقدار  $WCO$  در پالایشگاه‌های زیستی، تعیین مقدار بهینه روغن جاتروفافا و جلبک، تعیین مقدار تولید مواد اولیه دارو و تولید کود در مراکز استخراج، میزان حمل و نقل جاتروفافا، جلبک، بیو دیزل،  $WCO$ ، نوروزک، کود و خرزهره، تعیین ظرفیت مراکز جمع‌آوری و استخراج روغن. در نظر گرفتن هزینه‌های ناشی از استفاده از تکنولوژی جذب و انتقال و ذخیره کربن‌دی‌اکسید منتشر شده از دودکش نیروگاه‌ها و واحدهای صنعتی شامل هزینه جداسازی کربن‌دی‌اکسید پس از احتراق، هزینه حمل کربن‌دی‌اکسید به وسیله خطوط انتقال به سایتها ذخیره سازی و هزینه ذخیره سازی امن کربن‌دی‌اکسید می‌تواند برای تحقیقات آتی در ساخت و توسعه مدل مدنظر محققان قرار بگیرد.

## منابع

- [1] Lin, T., Rodríguez, L. F., Shastri, Y. N., Hansen, A. C., & Ting, K. C. (2013). GIS-enabled biomass-ethanol supply chain optimization: model development and Miscanthus application. *Biofuels, Bioproducts and Biorefining*, 7(3), 314-333.
- [2] Wang, X., Dong, X., Wang, X. C., Zhang, P., Liu, R., Klemeš, J. J., & Zheng, J. (2022). A life cycle assessment of an enterprise's low-carbon emissions model: The Xinjiang Shihezi pig farm faecal treatment biogas project as a case study. *Journal of Environmental Management*, 304, 114251.
- [3] Delkhosh, F., & Sadjadi, S. J. (2020). A robust optimization model for a biofuel supply chain under demand uncertainty. *International Journal of Energy and Environmental Engineering*, 11(2), 229-245.
- [4] Eskandarpour, M., Dejax, P., Miemczyk, J., & Péton, O. (2015). Sustainable supply chain network design: An optimization-oriented review. *Omega*, 54, 11-32.
- [5] Abolghasemian, M., Kanafi, A. G., & Daneshmand-Mehr, M. (2022). Simulation-based multiobjective optimization of open-pit mine haulage system: a modified-NBI method and meta modeling approach. *Complexity*, 2022.
- [6] Bai, Y., Zhai, Y., Zhang, T., Ren, K., Jia, Y., Zhou, X., & Hong, J. (2023). Sustainable assessment and resource recycling opportunities identification for China's pig industry: Integrating environmental, economic and social perspectives. *Sustainable Production and Consumption*.
- [7] FAO (2018). Food and Agriculture Organization of the United Nations 3–5 June 2008, Bioenergy, Food Security and Sustainability – Towards an International Framework, High Level Conference on World Food Security: the Challenges of Climate Change and Bioenergy, FAO, Rome, Italy, 2018.
- [8] Heydari Kushalshah, T., Daneshmand-Mehr, M., & Abolghasemian, M. (2023). Hybrid modelling for urban water supply system management based on a bi-objective mathematical model and system dynamics: A case study in Guilan province. *Journal of Industrial and Systems Engineering*, 15(1), 260-279.
- [9] Hosseinzadeh-Bandbafha, H., Aghaei, S., Aghbashlo, M., Kiehbadroudinezhad, M., Gupta, V. K., Mohammadi, P., & Tabatabaei, M. (2024). Biodiesel plants: real-world sustainability analysis using environmental and social life cycle assessment. In *Sustainable Biodiesel* (pp. 301-332). Academic Press.
- [10] Leung, D. Y., Wu, X., & Leung, M. K. H. (2010). A review on biodiesel production using catalyzed transesterification. *Applied energy*, 87(4), 1083-1095.
- [11] Wang, H., Yang, X., & Ou, X. (2014). A study on future energy consumption and carbon emissions of China's transportation sector. *Low Carbon Economy*, 5(04), 133.
- [12] Greenwell, H. C., Laurens, L. M. L., Shields, R. J., Lovitt, R. W., & Flynn, K. J. (2010). Placing microalgae on the biofuels priority list: a review of the technological challenges. *Journal of the royal society interface*, 7(46), 703-726.
- [13] Fernández-Puratich, H., Rebolledo-Leiva, R., Hernández, D., Gómez-Lagos, J. E., Armengot-Carbo, B., & Oliver-Villanueva, J. V. (2021). Bi-objective optimization of multiple agro-industrial wastes supply to a cogeneration system promoting local circular bioeconomy. *Applied Energy*, 300, 117333.

- [14] Ahmadvand, S., Khadivi, M., Arora, R., & Sowlati, T. (2021). Bi-objective optimization of forest-based biomass supply chains for minimization of costs and deviations from safety stock. *Energy Conversion and Management*: X, 11, 100101.
- [15] Hosseinalizadeh, R., Khamseh, A. A., & Akhlaghi, M. M. (2019). A multi-objective and multi-period model to design a strategic development program for biodiesel fuels. *Sustainable Energy Technologies and Assessments*, 36, 100545.
- [16] Durmaz, Y. G., & Bilgen, B. (2020). Multi-objective optimization of sustainable biomass supply chain network design. *Applied Energy*, 272, 115259.
- [17] Mahjoub, N., Sahebi, H., Mazdeh, M., & Teymouri, A. (2020). Optimal design of the second and third generation biofuel supply network by a multi-objective model. *Journal of Cleaner Production*, 256, 120355.
- [18] Rezaei, M., Chaharsooghi, S. K., Husseinzadeh Kashan, A., & Babazadeh, R. (2020). Optimal design and planning of biodiesel supply chain network: a scenario-based robust optimization approach. *International Journal of Energy and Environmental Engineering*, 11(1), 111-128.
- [19] Guler, D., Charisoulis, G., Buttenfield, B. P., & Yomralioğlu, T. (2021). Suitability modeling and sensitivity analysis for biomass energy facilities in Turkey. *Clean Technologies and Environmental Policy*, 1-17.
- [20] Sánchez-García, S., Athanassiadis, D., Martínez-Alonso, C., Tolosana, E., Majada, J., & Canga, E. (2017). A GIS methodology for optimal location of a wood-fired power plant: Quantification of available wood fuel, supply chain costs and GHG emissions. *Journal of Cleaner Production*, 157, 201-212.
- [21] Ahmadvand, S., & Sowlati, T. (2022). A robust optimization model for tactical planning of the forest-based biomass supply chain for syngas production. *Computers & Chemical Engineering*, 159, 107693.
- [22] Khadivi, M. (2022). Economic analysis and supply chain optimization of biomass gasification at a kraft pulp mill (Doctoral dissertation, University of British Columbia).
- [23] Shevchenko, A. R., Tyshkunova, I. V., Chukhchin, D. G., Malkov, A. V., Toptunov, E. A., Telitsin, V. D., Aksenov, A. S. (2023). Production of Biomodified Bleached Kraft Pulp by Catalytic Conversion Using *Penicillium verruculosum* Enzymes: Composition, Properties, Structure, and Application. *Catalysts*, 13(1), 103.
- [24] Pirouz, B., & Khorram, E. (2016). A computational approach based on the  $\epsilon$ -constraint method in multi-objective optimization problems. *Adv. Appl. Stat*, 49(6), 453-483.
- [25] Jahangiri, S., Abolghasemian, M., Ghasemi, P., & Chobar, A. P. (2023). Simulation-based optimisation: analysis of the emergency department resources under COVID-19 conditions. *International journal of industrial and systems engineering*, 43(1), 1-19.
- [26] Hasani, A., & Hosseini, S. M. H. (2023). Green Scheduling in Flexible Flow Shop with Machine-Dependent Processing Stages, Machines Eligibility, and Release Time. *Journal of Operational Research In Its Applications (Applied Mathematics)*, 20(2), 25-48. (In Persian)